



Statlig program for
forurensningsovervåking

RAPPORT NR 233/86

Oppdragsgiver

Statens forurensningstilsyn

Deltagende institusjon

NILU

BASISUNDERSØKELSE AV LUFTKVALITETEN I BERGEN, 1983 – 1985

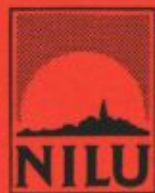
KORROSJON OG MILJØ

DELRAPPORT B



Norsk institutt for luftforskning

Postboks 130 – 2001 Lillestrøm



NILU OR : 56/86
REFERANSE: 0-8249
DATO : OKTOBER 1986
ISBN : 82-7247-730-0

**BASISUNDERSØKELSE AV LUFTKVALITETEN
I BERGEN 1983-1984**

Delrapport B: Korrosjon og miljø

Svein E. Haagenrud
Jan F. Henriksen
Frederick Gram

NORSK INSTITUTT FOR LUFTFORSKNING
POSTBOKS 130, 2001 LILLESTRØM
NORGE

INNHOLD

	Side
FORORD	5
KONKLUSJON	7
SAMMENDRAG	9
GRUNNLAGSMATERIALE 1: BAKGRUNN, MÅLEPROGRAM OG DATABEHANDLING	13
GRUNNLAGSMATERIALE 2: METEOROLOGISKE MÅLINGER OG UNIFORMT KLIMA	15
GRUNNLAGSMATERIALE 3 - LUFT OG NEDBØRKVALITET	23
GRUNNLAGSMATERIALE 4 - BEREGNET KVARTALS- OG ÅRSVERDIER FOR MILJØ-VARIABLE	26
GRUNNLAGSMATERIALE 5 - MÅLTE KORROSIONSHASTIGHETER	38
GRUNNLAGSMATERIALE 6 - DOSE-EFFEKT RELASJONER FOR STÅL	50
GRUNNLAGSMATERIALE 7 - DOSE-EFFEKT RELASJONER FOR SINK, KOPPER OG ALUMINIUM	59
REFERANSER	63

FORORD

Etter oppdrag fra Statens forurensningstilsyn (SFT) har Norsk institutt for luftforskning (NILU) gjennomført en basisundersøkelse av luftkvaliteten i Bergen i perioden 1983-1985 som et ledd i Statlig program for forurensningsovervåking.

Hensikten med basisundersøkelsen har vært å gi

- informasjon om konsentrasjonsnivåer og befolkningens eksponering for luftforurensninger.
- grunnlag for å vurdere tiltak mot luftforurensninger.
- grunnlag for å vurdere behovet for rutinemessig overvåking av luftkvaliteten i framtiden.

Undersøkelsen vil bli etterfulgt av en analyse der ulike forurensningsbegrensende tiltak vurderes. Analysen skal munne ut i en prioritert rekkefølge av forurensningsbegrensende tiltak som bør settes i verk. Tiltakene skal vurderes ut fra kostnadseffektivitet.

Resultatene av undersøkelsen dokumenteres med rapportene på listen nedenfor.

Hovedrapporten og Delrapport A er skrevet med aktive overskrifter som oppsummerer resultatene av hvert delelement i undersøkelsen. Disse understrekkede avsnitt gir en oversikt over hovedresultatene av undersøkelsen.

Rapportliste

Hovedrapport

SFT rapport	236/86
NILU rapport OR	58/86

Delrapport A. Målinger av meteorologi og luftkvalitet.	SFT rapport	232/86
Eksponering og helsevirkninger.	NILU rapport OR	54/86

Delrapport B. Korrosjon og miljø.	SFT rapport	233/86
	NILU rapport OR	56/86

Delrapport C. Spredningsberegninger.	SFT rapport 234/86 NILU rapport OR 49/86
Delrapport D. Utslippskartlegging.	SFT rapport 235/86 NILU rapport OR 57/86
Datarapport I. Måleresultater januar-august 1983 Kartlegging av oljeforbruk 1982.	SFT rapport 198/85 NILU rapport OR 55/85
Datarapport II. Måleresultater september 1983- februar 1984. Kartlegging av olje- forbruk 1983.	SFT rapport 212/86 NILU rapport OR 6/86
Parameterisering av nettostrålingen og den følbare varmeflux i Bergen.	NILU rapport TR 12/83
A numerical model suitable for the simulation of a broad class of circulation systems on the atmospheric mesoscale.	NILU rapport (under arbeid 1986)
Forslag til plan for basisundersøkelsen i Bergen 1983-1985.	NILU rapport OR 4/83

Rapportene kan fås ved henvendelse til NILU og Statens forurensningstilsyn.

Under basisundersøkelsen har NILU hatt samarbeide med og betydelig hjelp fra følgende institusjoner i Bergen: Geofysisk institutt ved Universitetet i Bergen, Kjemiavd. ved Bergen Ingeniørhøgskole, Helseseksjonen og Feiervesenet i Bergen kommune, Hordaland fylkeslaboratorium og Vervaslinga på Vestlandet.

KONKLUSJON

Utenom fuktbelastning er det lav og jevn belastning av korrosjonsbestemende variable (SO_2 , surhet og sjøsalt) i Bergen. Korrosjonshastigheten av metallene stål, sink og aluminium er derfor relativt lav og like stor i hele Bergensområdet (resultatene ligger mellom Hoff og Alvim i Sarpsborg-Fredrikstad). Korrosjonshastigheten er dårlig korrelert med andre miljøvariable enn nedbørmengde og våttid.

For alle metallene beskrives årskorrasjonen best ved enkeltvariabelen våttid. For kopper og aluminium har enkeltvariabelen kloridbelastning like høy korrelasjonskoeffisient. For disse enkeltvariablene er korrelasjonskoeffisienten for det meste >0.8 . (Restvarians 36%). For stål og sink økes korrasjonen noe ved å inkludere henholdsvis SO_2 alene eller i kombinasjon med kloridkonsentrasjonen i nedbøren, og H^+ -konsentrasjonen i nedbøren (for sink).

SO_2 -nivået er så lavt at det ikke har noen vesentlig innvirkning på korrasjonshastigheten i Bergen. Fordi den relativt like og lave korrasjonshastigheten i Bergen er bestemt hovedsaklig av fuktforholdene, og ikke av SO_2 -konsentrasjonen, har vi ikke beregnet korrasjonskart ut fra utslippstall for SO_2 for Bergen.

Til sammen utgjør databasen for S-F-undersøkelsen og Bergen-undersøkelsen et grunnlag for utvikling av dose-effektsammenhenger for stål, sink, kopper og aluminium under ulike klimaforhold (våttid og nedbørmengde) og luft- og nedbørkvalitet (SO_2 , kloridkonsentrasjonen og surhet i nedbøren).

SAMMENDRAG

Korrosjonsundersøkelsen i Bergen har hatt to hovedmål. For det første å etablere sammenhenger mellom miljøvariable og korrosjon (dose-effekt) for fire metaller i et så lite geografisk område at klimaet er tilnærmet det samme for området. Da vil variasjonene i korrosjon skyldes variasjon i et fåtall forurensningsparametere. Slike dose-effekt sammenhenger er nødvendige for å kunne beregne skadefinningsvirkninger og for å kunne vurdere tiltak for reduksjon av slike skadefinningsvirkninger.

Den andre hovedhensikt har vært å bestemme omfanget av korrosjonen i området.

En tredje hensikt kan være å sammenligne dataene fra basisundersøkelsen i Bergen med de fra basisundersøkelsen i Sarpsborg/Fredrikstad (S-F) for å kunne utvikle dose-effekt relasjoner gjeldende for et bredt spekter av klimavariasjon (våttid, nedbørsmengde), SO_2 -konsentrasjoner og nedbørkvalitet. Dette vil eventuelt være en separat rapport.

De sju grunnlagsmaterialene omhandler:

- 1) Bakgrunn for prosjektet, det utførte måleprogram og metoder for behandlingen av måledataene. Korrosjonsmålinger av stål, sink, koppe og aluminium samt målinger av SO_2 og nedbørsmengde/-kvalitet er utført på 11 stasjoner i perioden 1983-01-01 til og med 1984-12-31. I tillegg er de klimatiske parametrene registrert på enkelte stasjoner. For å undersøke sammenhengen er flere standard statistiske testmetoder benyttet. Det er testet på ulikheter både i enkeltvariablers middelverdier og i koeffisienter i lineære regresjonslinjer.
- 2) Meteorologiske måledata og sammenligning av disse for å undersøke hypotesen om samme klima for området. Sammenligningen av temperatur, relativ fuktighet og våttid fra Skjold og fra Meteorologisk institutts stasjon på Florida, samt av nedbørsmengder målt på samtlige stasjoner i hele perioden, viser at hypotesen om samme klima for området bare er tilnærmet riktig. Det er høyere temperatur på Florida enn på Skjold, men lavere

relativ fuktighet og våttid (ca 10%). Målegrunnlaget, både i tid og rom, er for dårlig til å gi noen god vurdering av uniformiteten av våttid i måleområdet.

- 3) Luft- og nedbørkvalitetsmålinger for området. For svoveldioksid i luft er de månedlige middelverdiene på alle stasjonene så lave at de ifølge internasjonal standard for klassifisering av korrosjonsmiljø ligger i bakgrunnsnivået ($<12 \mu\text{g}/\text{m}^3$). Nedbørkvaliteten (H^+ /pH og kloridkonsentrasjonen) er den samme i hele området. Surheten er lavere og kloridkonsentrasjonen høyere (doblete) enn i S-F-området.
- 4) Beregnehede kvartals- og årsverdier for aktuelle miljøvariable som skal brukes i regresjonsanalysene for utvikling av dose-effekt relasjoner. De beregnede kvartalsverdier viser for de aktuelle miljøvariable små variasjoner fra kvartal til kvartal på de enkelte stasjoner. Sammenlignet med 1984 viser de beregnede årsverdiene for 1983 klart høyere våttid, vesentlig mer nedbør og derfor også vesentlig høyere kloridbelastning.
- 5) Korrosjonsmålingene. Både måneds-, kvartals- og årskorrosjonen av stål viser at det er svært liten forskjell i korrosjonen mellom stasjonene. Stasjonene er godt korrelert og den midlere korrosjonshastigheten for tidsperiodene ligger ca 30% høyere enn bakgrunnstasjonen Hof og ca 30% lavere enn korrosjonen i byområdene i S-F. Det er klart høyere korrosjon på stål i 1983 enn i 1984. Sink, kopper og aluminium viser også omtrent samme korrosjonshastighet for hele området, og med klart høyere korrosjon i 1983 enn i 1984. For sink er den gjennomsnittlige korrosjonen i Bergen omtrent den samme som i byområdene i S-F. For kopper og aluminium er den gjennomsnittlige korrosjonen ca 20% lavere enn i byområdene i S-F.
- 6) Dose-effekt relasjonene for stål på måneds-, kvartals- og årsbasis. Relasjonene er utviklet ved multipel lineær regresjonsanalyse. Korrelasjonene er generelt lave. Våttid og/eller nedbørmengde gir best korrelasjon og man kan også se visse forbedringer av sammenhenger ved inkludering av ledd som surhet i nedbøren, produkt av SO_2 og våttid, produkt av SO_2 og kloridkonsentrasjonen i nedbør. Korrelasjonen er best for årsverdiene. På

grunn av lavt forurensningsbidrag fra SO_2 i relasjonene vil en ikke regne ut kart for korrosiviteten i Bergen basert på modellberegningene av SO_2 .

- 7) Dose-effekt relasjonene for sink, kopper og aluminium på årsbasis ved de to ett års eksponeringene i 1983 og 1984. Årskorrosjonene av alle tre materialene er rimelig bra beskrevet av relasjoner som inneholder nedbørsmengde (mm) eller våttid (TOW). Dessuten er det god korrelasjon med kloridbelastningen i nedbøren. For alle relasjonene sett under ett er det en gjennomsnittlig uforklart varians på ca 35%.

Uniformiteten i korrosjonsmiljøet i området og formen på dose-effekt relasjonene gjør det lite interessant å beregne bidraget fra det enkelte ledd i regresjonsligningene.

GRUNNLAGSMATERALE 1: BAKGRUNN, MÅLEPROGRAM OG DATABEHANOLING

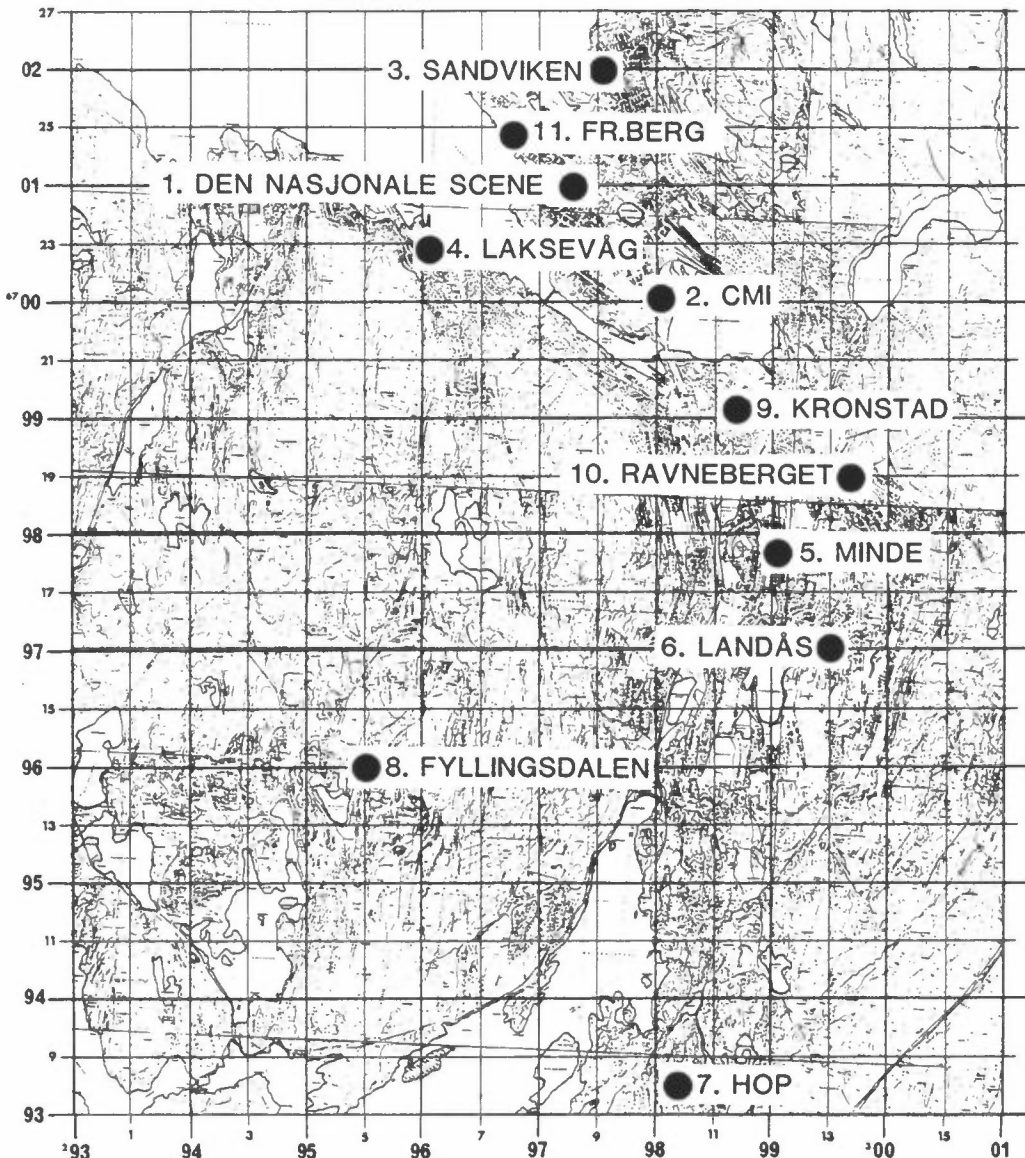
Hovedhensikten med korrosjonsundersøkelsen i Bergen har vært å etablere sammenhenger mellom miljøvariable og korrosjon (dose/effekt), og å bestemme omfanget av korrosjonen.

Dose-effekt-sammenhenger er nødvendige for å kunne beregne skadenvirkninger og for å kunne vurdere tiltak for reduksjon av slike skadenvirkninger. Den samtidige virkningen av mange miljøvariable er et problem ved bestemmelsen av slike relasjoner. Ved basisundersøkelsen foretas undersøkelsene i et såvidt begrenset geografisk område at de klimatiske forhold kan antas å være uniforme innen området. Dersom dette er riktig vil en eventuell variasjon i korrosjonen skyldes et fåtall forurensningsparametre i luft og nedbør.

Tidligere har en gjort basisundersøkelse i S-F (Haagenrud et al., 1984) hvor klima var tilnærmet likartet i området, og hvor hovedvariasjonen i korrosjonen skyldtes ulike SO_2 -nivåer. I forhold til basisundersøkelsen i S-F er undersøkelsen i Bergen ment å gi dose-effektsammenhenger i et kystklima hvor en ventet å finne synergistiske effekter mellom SO_2 og sjøsalt i luft og nedbør.

Korrosjonsmålinger av stål, sink, kopper og aluminium samt målinger av SO_2 og nedbørsmengde og -kvalitet er utført på 11 stasjoner i perioden 1983-01-01 til og med 1984-12-31. I tillegg er de klimatiske parametre registrert på enkelte stasjoner.

Stasjonsnettet er vist i figur 1. Korrosjonsmålingene omfatter års-eksponeringer av stål, sink, kopper og aluminium, samt kvartalseksponeringer av stål i 2 år. I 1984 er det dessuten foretatt månedseksponeeringer av stål. Platene er eksponert åpent i 45° vinkel med horisontalplanet, vendt mot sør eller dominerende belastningsretning.



Figur 1: Målesteder i Bergen-området.

Prøvene veies før og etter eksponering og korrosjonshastigheten angis som vekttap. Korrosjonsproduktene fjernes ved beising etter standardprosedyrer (Wranglen, 1972). På stasjonene foretas samtidig månedsmåling av nedbøren, samt utfyllende måling av SO_2 for å få kontinuerlige tidsserier. Nedbøren analyseres med hensyn på pH og Cl. Dessuten er det i 1984 foretatt månedsmålinger av sjøsalt (klorid) aerosoler i luft på de 3 stasjonene CMI, Fyllingsdalen og Fredriksberg.

Temperatur, relativ fuktighet og våttid (tid over 80% relativ fuktighet og temperatur over 0°C) er målt på Skjold ved Hop. Dessuten foreligger samme type data fra Florida, som er Meteorologisk Institutts (MI) stasjon.

GRUNNLAGSMATERIALE 2: METEOROLGISKE MÅLINGER OG UNIFORMT KLIMA.

Hypotesen om samme klima for måleområdet i Bergen er bare tilnærmet riktig. Tabell 1 viser en sammenstilling av temperatur, relativ fuktighet og våttid målt på henholdsvis Florida og Skjold ved Hop skole. Tabell 2 viser de månedlige måledata for nedbørmengder på stasjonene og dessuten våttid fra Florida (TOWF). Sammenligningen av dataene er gjort ved lineære regresjonsanalyser. Korrelasjonsmatrisen sammen med middelverdier og standardavvik er vist i de samme tabellene.

Det er god korrelasjon for temperatur og ikke signifikante forskjeller hverken i relativ fuktighet eller våttid målt på Skjold (Hop) og Florida (Fredriksberg). Tabell 2 viser at det er tilsynelatende forskjeller i middelverdiene på relativ fuktighet og våttid på de to stasjonene (10%). Statistiske beregninger viser imidlertid at forskjellen ikke er signifikant på 95% konfidensnivå. Figur 2 og 3 viser sammenhengen mellom henholdsvis temperatur og våttid på de to stasjonene. Beregningene viser at det er for dårlig målegrunnlag, både i tid og rom, til å gi noen entydig konklusjon om uniformiteten av våttid i måleområdet.

Fyllingsdalen har klart lavere nedbør, og Fredriksberg noe høyere nedbør, men ellers er nedbørmengden i måleområdet tilnærmet lik.

De månedlige nedbørmengder på stasjonene er vist i figur 4, mens tabell 2 viser nedbørmengdene og korrelasjonsmatrisen. Det framgår at nedbørmengden på Fredriksberg er jevnt dårlig korrelert med de andre stasjonene. Den Nationale Scene er også noe dårlig korrelert, men ellers ligger korrelasjonskoeffisienten svært høyt. Den gode korrelasjonen framgår også av figur 5, som viser sammenhengen mellom nedbørmengdene målt på Hop og Landås. Den dårligere korrelasjonen mellom Fredriksberg og Hop på den annen side er vist i figur 6.

I det videre arbeid med regresjonsanalyser for å utvikle dose-effekt-sammenhenger vil vi benytte den samme temperatur og våttid for hele måleområdet. Vi benytter målingene på Florida som representative for hele området da denne stasjonen ligger mer i sentrum for målepunktene. For nedbørmengdene har vi reelle måleverdier for samtlig målestasjoner.

Tabell 1: Lineær regresjonsanalyse - sammenheng mellom temperatur (T), relativ fuktighet (F) og våttid (V) målt på Skjold ved Hop (SKJ) og fra Meteorologisk institutts stasjon på Florida (FLO) for 1983.

KORRELASJON SKJOLD-FLORIDA

ANSWER KORR ANSWER

TGKJ	TFLG	FSKJ	FFLG	VGKJ	VFLG
.00	.90	75.00	69.00	162.00	168.00
3.20	4.00	81.00	76.00	345.00	318.00
5.50	6.40	80.00	74.00	352.00	312.00
7.00	10.30	83.00	76.00	467.00	366.00
11.40	12.50	82.00	72.00	401.00	270.00
14.60	14.80	85.00	78.00	404.00	402.00
12.70	13.60	89.00	81.00	553.00	438.00
11.90	11.50	87.00	77.00	364.00	360.00
7.00	8.20	88.00	81.00	472.00	426.00
4.10	4.90	86.00	82.00	462.00	372.00
2.80	3.40	83.00	78.00	370.00	330.00
-.70	.10	73.00	69.00	198.00	198.00
.90	1.80	79.00	72.00	282.00	252.00

VARIABEL	MIDL	ST.DEV	MAX	MIN	OBG
TSKJ	6.362	5.179	14.600	-700	13
TFLO	7.108	5.047	14.800	.100	13
FSKJ	82.365	4.523	89.000	73.000	13
FFLO	75.769	4.362	82.000	69.000	13
VSKJ	373.385	110.342	553.000	162.000	13
VFLO	324.000	83.355	438.000	168.000	13

KORRELASJONSMATRICE

TSKJ-1-000

TELQ 997 1,000

ESKJ 735 735 1,000

FFLQ 493 494 916 1,000

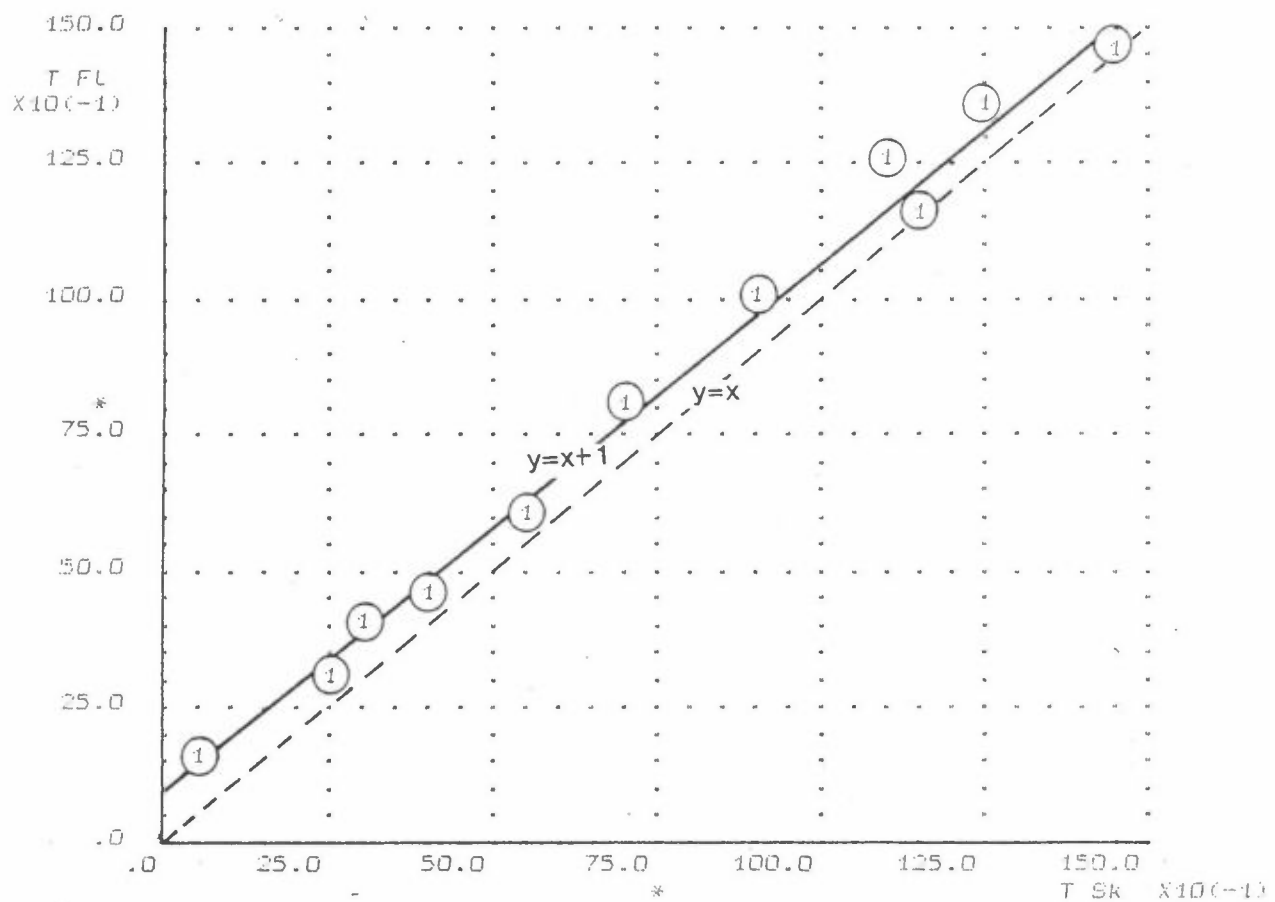
VSKJ .693 .717 .903 .868 1,000

VFLQ .706 .710 .940 .934 .920 1.000

TSKJ TFLQ FSKJ FFLO VSKJ VFLQ

KORRELASJON $R = .995$

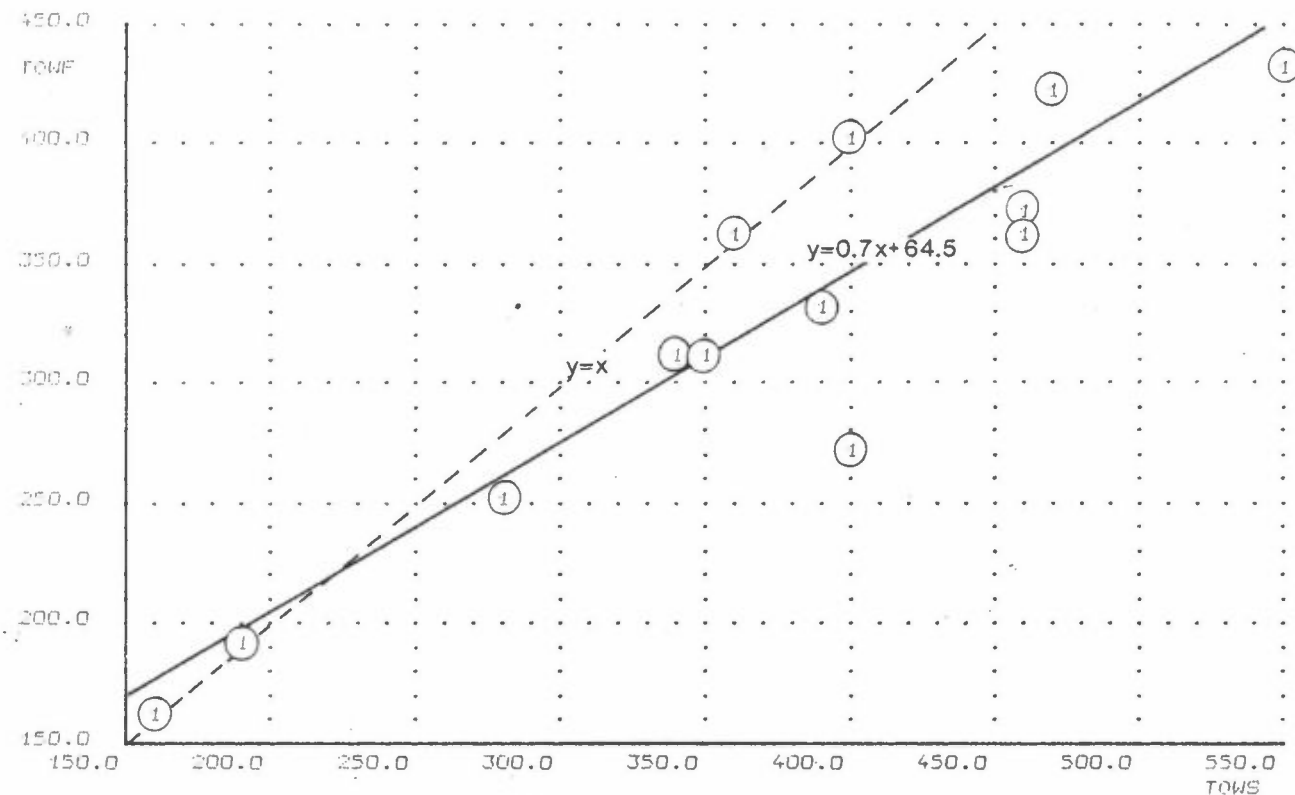
$$T_{FL} = .965 * T_{Sk} + .993$$



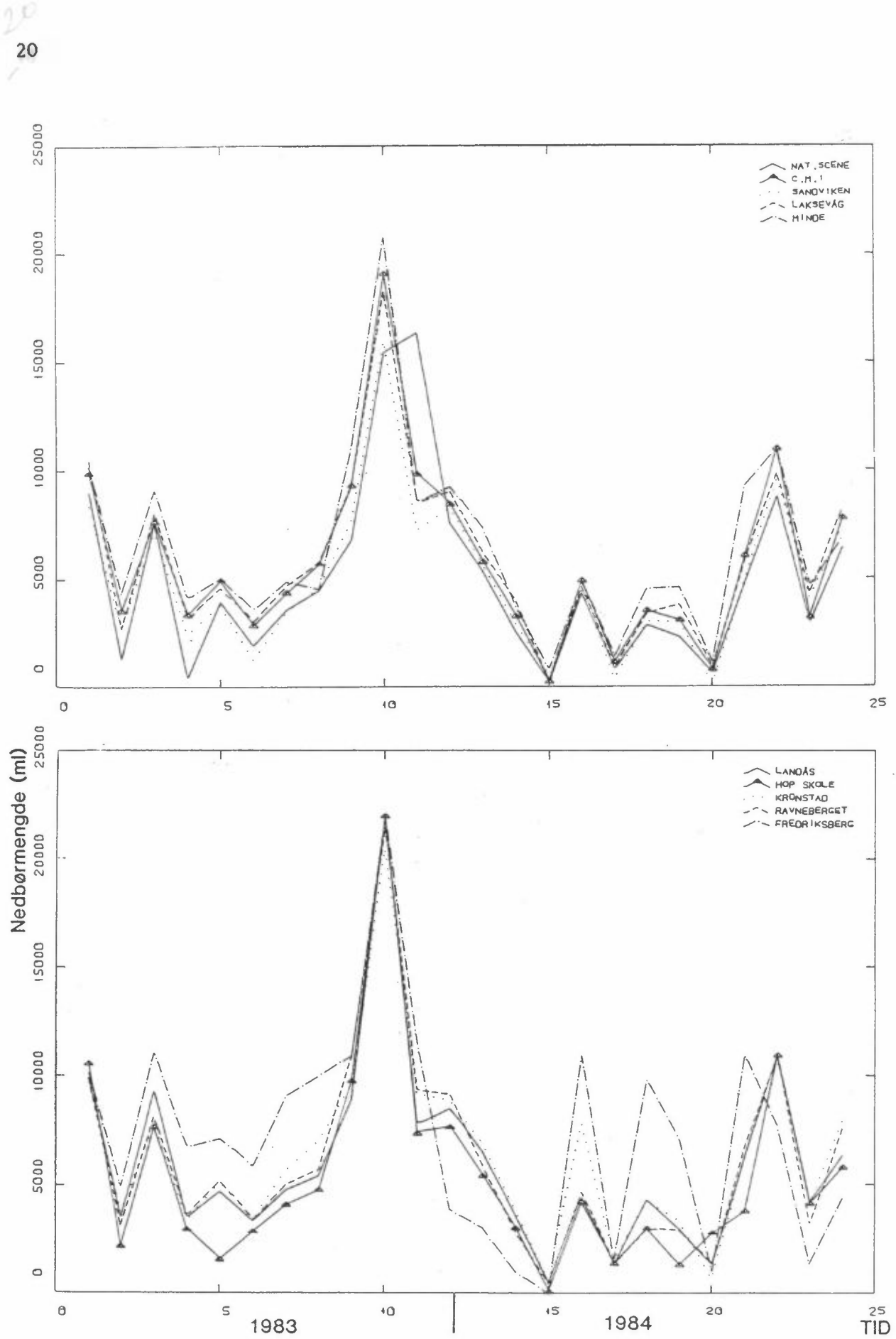
Figur 2: Sammenheng mellom månedlige middeltemperaturer målt på Florida (TFL) og på Skjold (TSK).

KORRELASJON R= .920

$$\text{TOWF} = -675 + \text{TOWS} + 64.472$$



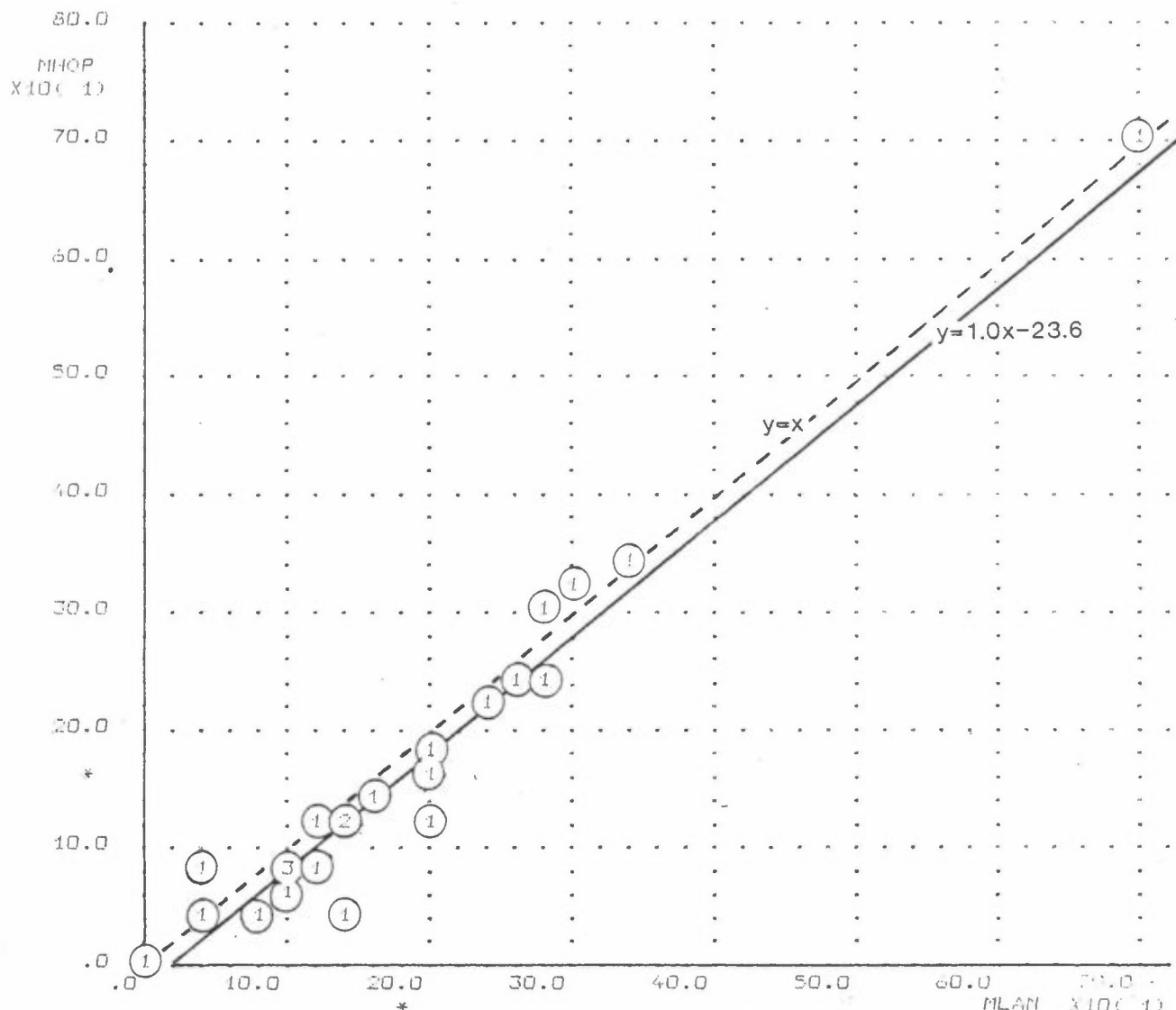
Figur 3: Sammenheng mellom månedlig våttid beregnet fra termohygrografdata på Skjold (TOWS) og på Florida (TOWF).



Figur 4: Månedlige nedbørmengder målt på stasjonene med NILUs nedbørsamler.

Koeffisienten $R = 0.977$

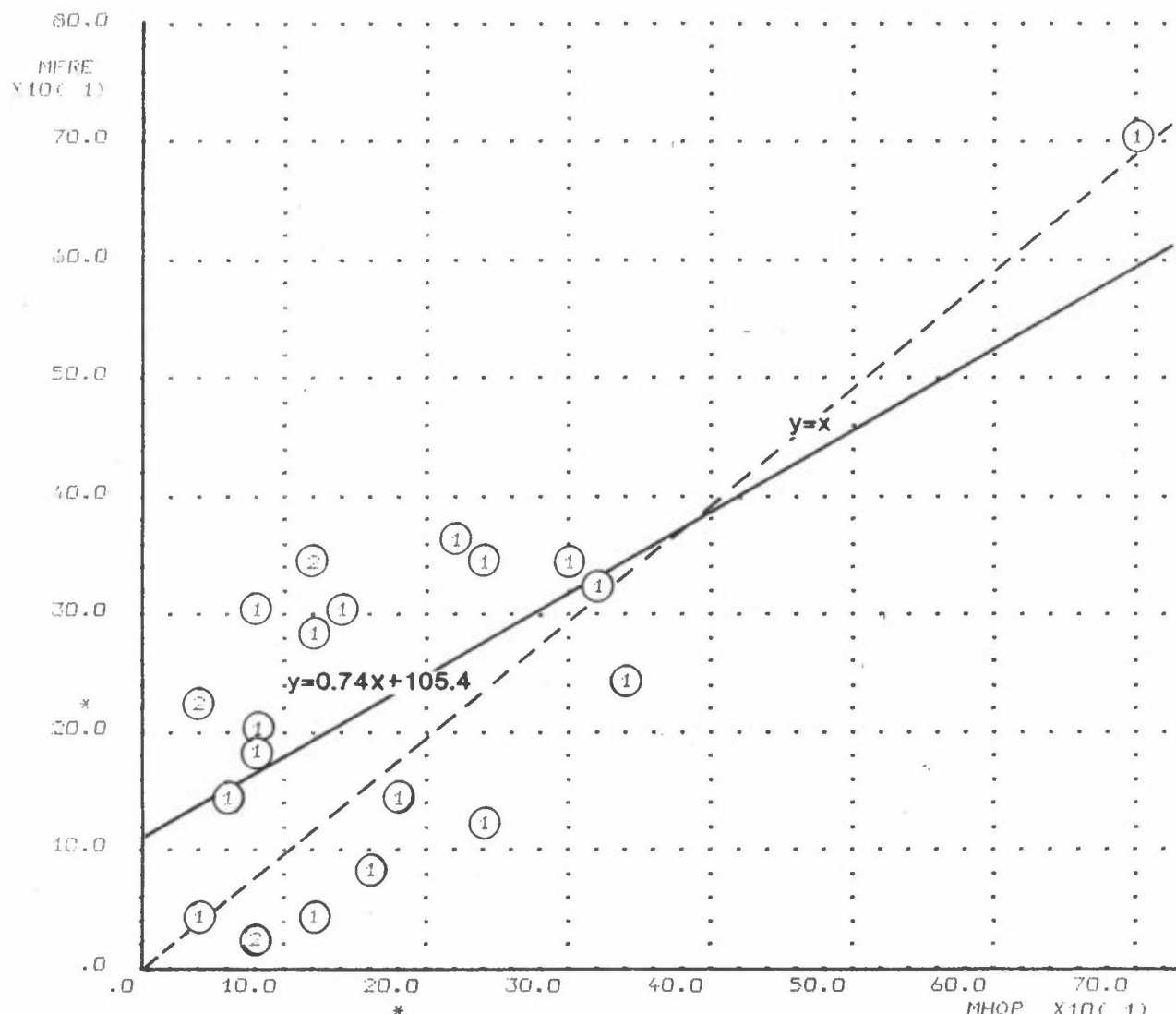
$$MHOP = 1.022 * MLAN + -23.609$$



Figur 5: Sammenheng mellom månedlige nedbørmengder målt på Landås og Hop med NILUs nedbørsamler.

KORRELASJON R= .702

$$MFRE = .739 * MHOP + 105.430$$



Figur 6: Sammenheng mellom månedlige nedbørmengder målt på Hop (MHOP) og på Fredriksberg (MFRE) med NILUs nedbørsamler.

GRUNNLAGSMATERIALE 3 - LUFT OG NEDBØRKVALITET

For svoveldioksid i luft er de månedlige middelverdiene på alle stasjonene så lave at de ligger i bakgrunnsnivået ($<12 \mu\text{g pr m}^3$), i følge internasjonal standard for klassifisering av korrosjonsmiljø.

En sammenstilling av de månedlige måledata for de tre første måneder er gitt i tabell 3.

Luftkvalitetsmålingene for korrosjonsformål er basert på bestemmelser av midlere månedskonsentrasjon av svoveldioksid på alle stasjonene. Tabell 4 viser samtlige SO_2 -data, middelverdier og korrelasjonsmatrisen, mens figur 7 viser plott av de samme data. For Sandviken, Laksevåg og spesielt Fyllingsdalen mangler en del SO_2 -målinger. Manglende data er anslått ved sammenligning med de andre stasjonene. Anslatte data er markert i tabellen.

Korrelasjonsmatrisen viser at de fleste stasjonene er godt korrelert innbyrdes for SO_2 . Unntakene er Hop og delvis Fyllingsdalen. Dette er naturlig siden Hop ligger langt unna bykjernen i landlige omgivelser, og Fyllingsdalen ligger på den andre siden av fjellet, skjermet fra bykjernen. Stasjonene kan gruppertes i 2 nivåer. Det første nivået omfatter den indre bykjerne med stasjonene Nationale Scene, CMI, Sandviken, Laksevåg, Kronstad og Fredriksberg, med midlere månedlige SO_2 -konsentrasjon på $11 \mu\text{g/m}^3$. Den andre hovedgrupperingen omfatter stasjonene utenfor denne kjernen, Minde, Landås, Hop, Fyllingsdalen og Ravneberget med en midlere SO_2 -konsentrasjon på $6 \mu\text{g/m}^3$.

Verdiene kan sammenlignes med forslag til internasjonal standard for klassifisering av korrosjonsmiljøet (ISO/TC 156/WG4-DP, 1985). Den laveste klassen av SO_2 , som beskriver bakgrunnsnivået, er definert som $<12 \mu\text{g/m}^3$. Det betyr at alle målestasjoner i Bergen vil være plassert i bakgrunnsnivået mht SO_2 -nivået.

Det har vært ganske stor forskjell i midlere SO_2 -nivå i de to vinter-periodene. Vinteren 83 var svært mild med lave SO_2 -nivåer, bortsett fra en del episoder med høye SO_2 -nivåer i februar-83 (figur 7). For den kalde vinteren -84 var det jevnt over høyere SO_2 -nivåer ($15-20 \mu\text{g/m}^3$) for de indre bystasjonene.

Klorid-aerosolmengden er for de månedlige middelverdier på 3 stasjoner så lav at de i følge internasjonal standard for klassifisering av korrosjonsmiljø ligger i bakgrunnsnivået. Belastningen fra klorid-aerosoler i luft er målt med NILUs aerosolfelle på stasjonene CMI, Fyllingsdalen og Fredriksberg fra februar 1984, figur 8. Midlere månedlig kloridbelastning er for CMI ca. 1 og for de to andre stasjonene ca. $2 \text{ mg/m}^2/\text{døgn}$. Dette er samme størrelsesorden som for stasjonene Hoff og Alvim i S-F. Målingene er dårlig innbyrdes korrelert.

I internasjonal standard for korrosjonsmiljø (ISO/TC 156/WG4-1985) er laveste klasse for Cl-aerosoler satt til $<3 \text{ mg/m}^2/\text{døgn}$. Disse verdiene refereres til målinger med "wet candle" metoden som gir høyere verdier enn NILU's aerosolfelle.

Nedbørkvaliteten (H^+ /pH og kloridkonsentrasjon) er den samme i hele området. Surheten er lavere og kloridkonsentrasjonen noe høyere enn i Sarpsborg - Fredrikstad.

Nedbørkvaliteten er undersøkt ved prøvetaking med NILUs nedbørsamler på alle stasjonene, og bestemt for pH og kloridkonsentrasjon. På grunn av det lave svoveldioksidinnholdet har en ikke bestemt sulfat. H^+ konsentrasjonen er vist i tabell 5. Som en ser er pH-verdiene svært like (middelverdi ca. 4,5), men korrelerer innbyrdes dårlig. Minimumsverdiene har for de fleste stasjonene vært litt i underkant av pH4.

Av tabell 6 og figur 9 ser en at klorid-konsentrasjonen for området er omtrent lik, og med en månedlig midlere konsentrasjon på 6,8 mg/l. Dette er ca. det dobbelte av den månedlige middelkonsentrasjonen i S-F-området, bortsett fra Hoff som hadde en middelkonsentrasjon på 11, vesentlig pga. én måned med veldig høy kloridkonsentrasjon (Haagenrud et al., 1984). Et tilsvarende bilde ser en for Bergen hvor mars 84 har en svært høy kloridkonsentrasjon på alle stasjoner (figur 9).

På grunn av mye høyere nedbørmeninger og høyere kloridkonsentrasjoner er våtdeponeringen av sjøsalt i Bergen mye høyere enn i S-F. Korrelasjonsmatrisen for klorid-konsentrasjon og belastning i nedbør samt aerosol-belastninger i luft er gitt i tabell 7. På Fredriksberg er det en relativt bra korrelasjon mellom kloridbelastning i luft og i nedbør, (figur 10). På de 2 andre stasjonene (CMI og Fyllingsdalen) er det ingen sammenheng. Vi ser også av figur 10 og regresjonslinjen at forskjellen i måleverdier øker med økende belastning. Ved de høyeste aerosolbelastningene ($\sim 5 \text{ mg/m}^2/\text{døgn}$) har våtdeponeringen vært 10-15 ganger høyere.

GRUNNLAGSMATERIALE 4 - BEREGNEDE KVARTALS- OG ÅRSVERDIER FOR MILJØVARIABLE

De beregnede kvartalsverdier viser små variasjoner for de aktuelle miljøvariable fra kvartal til kvartal på de enkelte stasjoner.

De kvartalsverdiene som er beregnet fra grunnlagsmateriale 2 og 3 er vist i tabell 8. Det er liten variasjon i SO_2 .

Sammenlignet med -84 viser de beregnede årsverdiene for -83 klart høyere våttid, vesentlig mer nedbør og også vesentlig høyere kloridbelastning.

Arsverdiene er vist i tabell 9. Svoeldioksid-konsentrasjonen og surhet-/kloridkonsentrasjonen i nedbøren er tilnærmet like i de to årene. Vi har tidligere klassifisert middelverdiene for SO_2 og Cl-belastning i forhold til forslag til internasjonal standard for korrosjonsmiljø (ISO/TC 156/WG4-DP 1985). Våttiden er den tredje miljøvariable som karakteriserer korrosjonsmiljøet i følge denne standarden. Våttiden i 1983 (4188 timer - 48,5%) og 1984 (3408 timer - 39,4%) er høy og kommer høyt i klasse 4 (2500 - 5500 timer). Til sammenligning ble det i S-F (Haagenrud et al., 1984) målt våttid på hhv. 2884 timer (33,3%) og 3559 timer (41,2%), som er bare litt lavere (44% mot 37% i middel). Den store forskjellen i fuktbelastning skyldes forskjell i nedbørmengdene, hvor middelnedbøren i Bergen i de 2 årene var hhv. 2873 mm og 1621 mm, mens S-F hadde hhv. 612 mm og 627 mm. I middel er det 3-4 ganger mer i Bergen. Fuktfilmen i løpet av våttiden, og derfor avvaskningsforholdene er derfor helt forskjellige i Bergen og S-F.

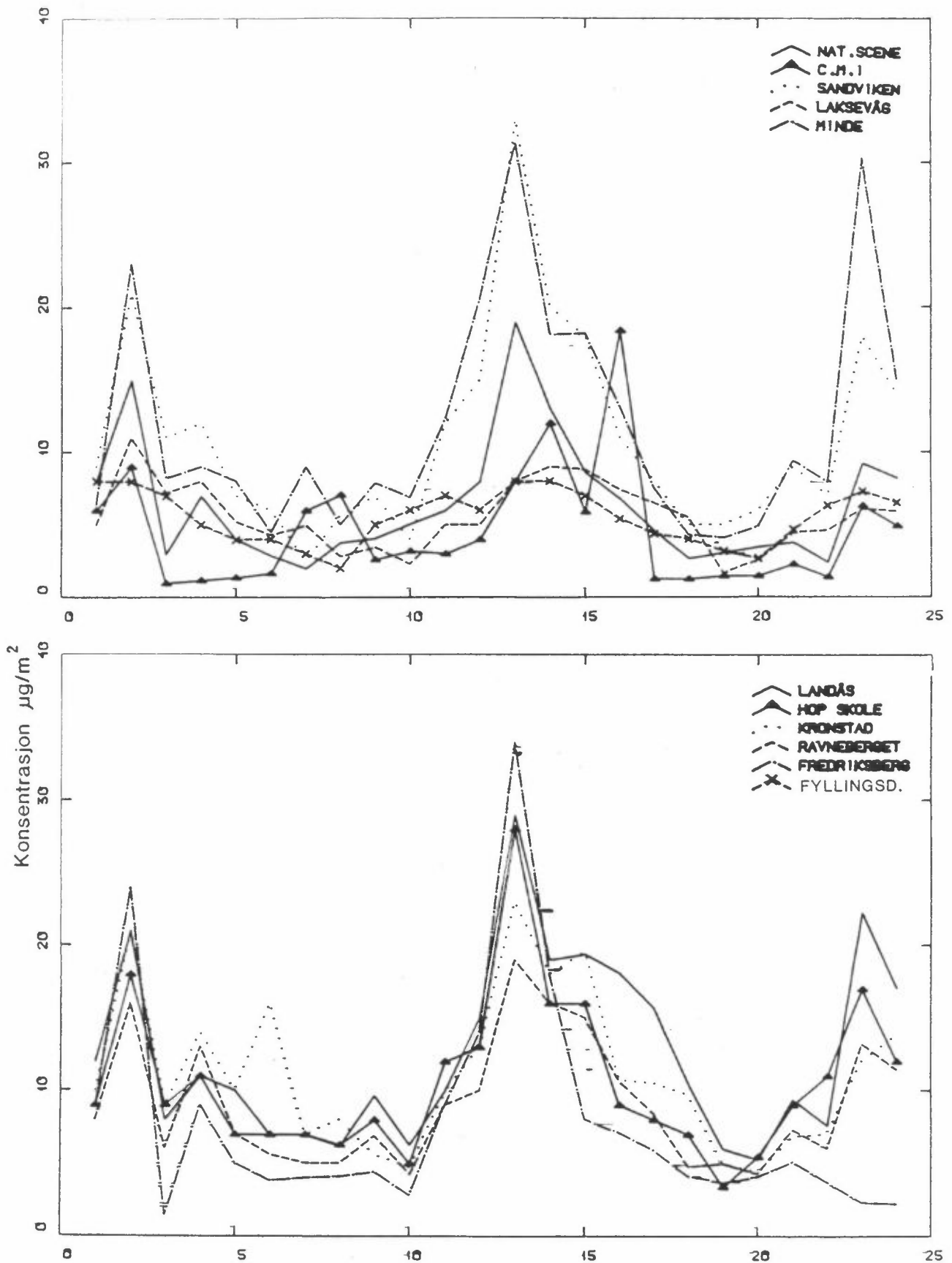
Tabell 3: Midlere månedsverdier for luft (SO₂, Cl, AF) og nedbørkvalitets-variable (H⁺, Cl-C, Cl-B) for perioden 1983-01-01--1983-04-1.

Cl-C = konsentrasjon

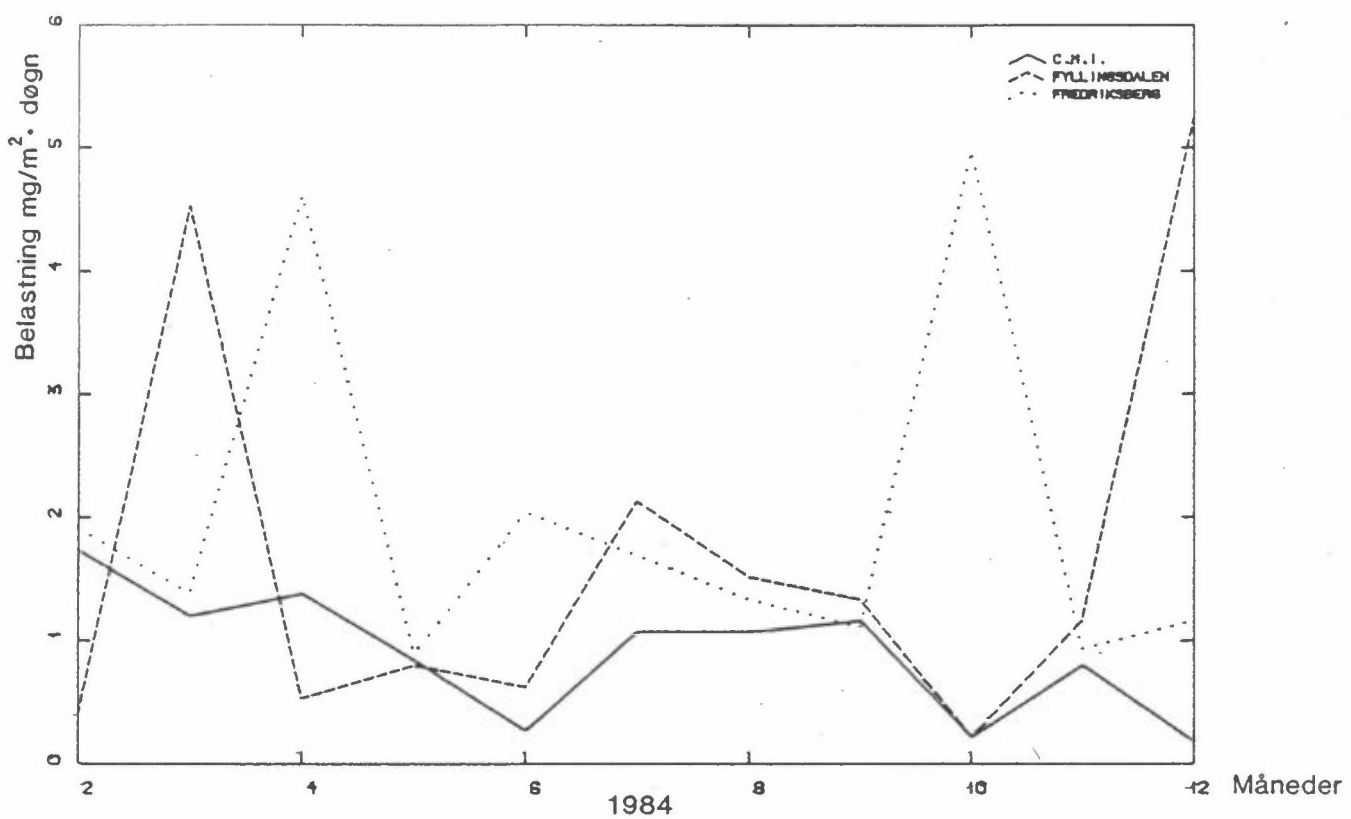
Cl-B = belastning

Cl-AF= aerosolfelt

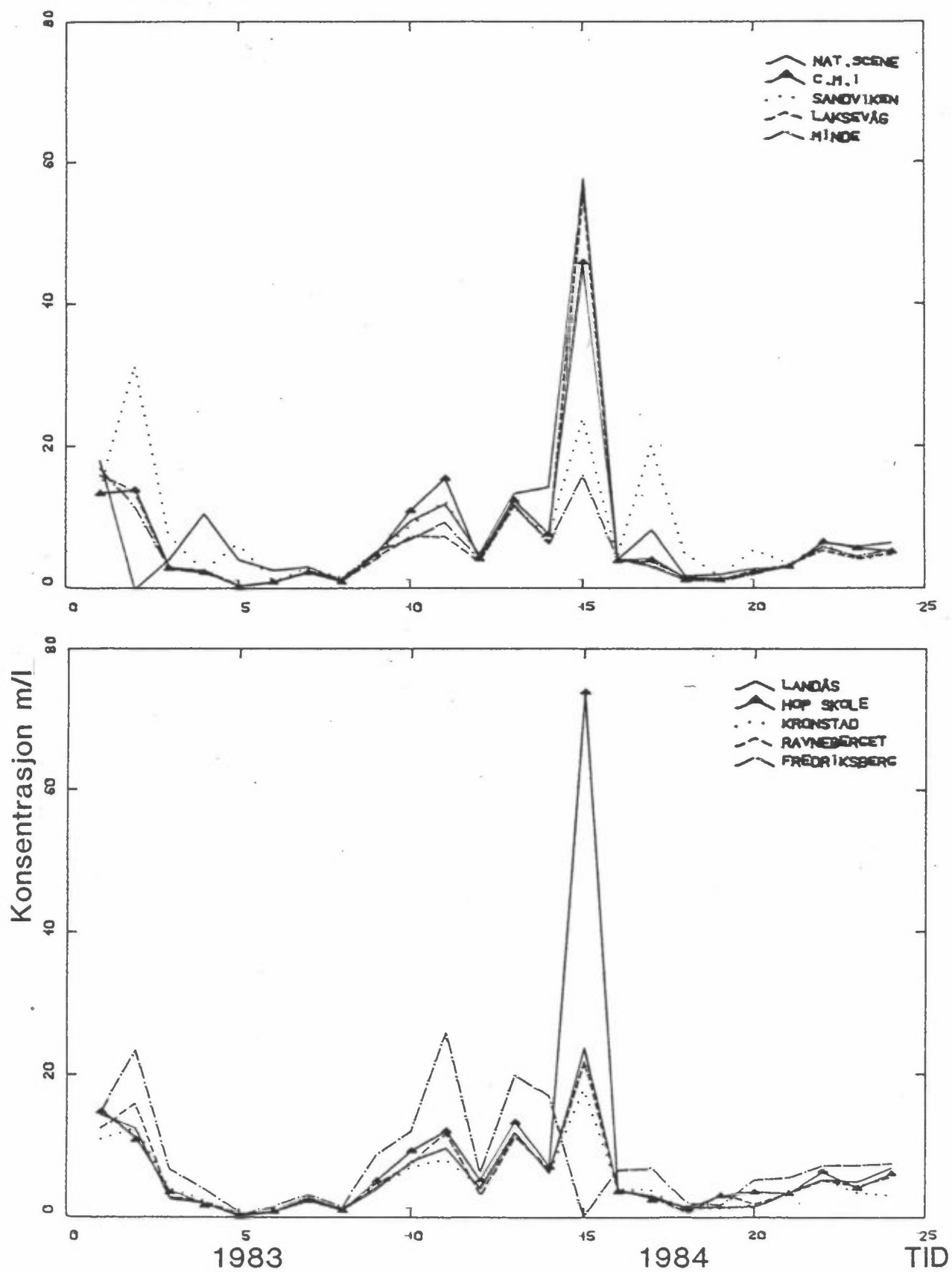
PERIODE: 8301							
STASJON	NEDBØR	H+ (PH)	CL-C	CL-B	CL(AF)	SO2	
	MM	UG/L	MG/L	MG/M2*D	MG/M2*D	UG/M3	
1NATIONALE S	286.6	15.8(4.80)	18.0	171.0		12.0	
2C.M.I.	314.6	28.2(4.55)	13.5	141.6		9.0	
3SANDVIKEN	266.9	15.8(4.80)	14.0	124.5		10.0	
4LAKSEVÅG	332.8	3.5(5.45)	16.0	177.5		8.0	
5MINDE	324.8	1.8(5.75)	17.0	184.1		9.0	
6LANDÅS	316.9	3.2(5.50)	14.5	153.2		8.0	
7HOP SKOLE	337.6	2.2(5.65)	15.0	168.8		6.0	
8FYLLINGSDAL							
11KRONSTAD	310.5	14.1(4.85)	11.0	113.9		9.0	
12RAVNEBERGET	315.3	4.0(5.40)	12.5	131.4		5.0	
13FREDRIKSBER	324.8	11.2(4.95)	15.0	162.4		6.4	
PERIODE: 8302							
STASJON	NEDBØR	H+ (PH)	CL-C	CL-B	CL(AF)	SO2	
	MM	UG/L	MG/L	MG/M2*D	MG/M2*D	UG/M3	
1NATIONALE S	41.1					21.0	
2C.M.I.	113.1	7.1(5.15)	14.0	52.8		18.0	
3SANDVIKEN	85.9	2.0(5.70)	31.5	91.3		21.0	
4LAKSEVÅG	86.0	10.0(5.00)	13.5	38.7		16.0	
5MINDE	137.6	15.8(4.80)	11.5	52.7		24.0	
6LANDÅS	110.8	21.9(4.66)	12.5	46.2		15.0	
7HOP SKOLE	71.3	14.1(4.85)	11.0	26.2		9.0	
8FYLLINGSDAL							
11KRONSTAD	119.4	3.2(5.50)	12.5	49.8		21.0	
12RAVNEBERGET	98.7	22.4(4.65)	16.0	52.7		11.0	
13FREDRIKSBER	155.4	14.1(4.85)	23.5	121.7		23.0	
PERIODE: 8303							
STASJON	NEDBØR	H+ (PH)	CL-C	CL-B	CL(AF)	SO2	
	MM	UG/L	MG/L	MG/M2*D	MG/M2*D	UG/M3	
1NATIONALE S	241.4	.3(6.60)	4.3	34.6		8.0	
2C.M.I.	243.3	14.1(4.85)	3.0	24.3		9.0	
3SANDVIKEN	228.0	1.1(5.95)	7.3	55.5			
4LAKSEVÅG	256.4	20.0(4.70)	2.9	24.8		6.0	
5MINDE	289.8	20.0(4.70)	2.7	26.1		1.4	
6LANDÅS	297.8	15.8(4.80)	2.7	26.8			
7HOP SKOLE	244.6	22.4(4.65)	3.6	29.4		1.0	
8FYLLINGSDAL							
11KRONSTAD	248.4	20.0(4.70)	4.0	33.1		11.0	
12RAVNEBERGET	259.6	20.0(4.70)	2.6	22.5		7.2	
13FREDRIKSBER	353.5	25.1(4.60)	6.5	76.6		8.2	



Figur 7: Midlere månedlige SO_2 -konsentrasjoner på Bergen-stasjonene.



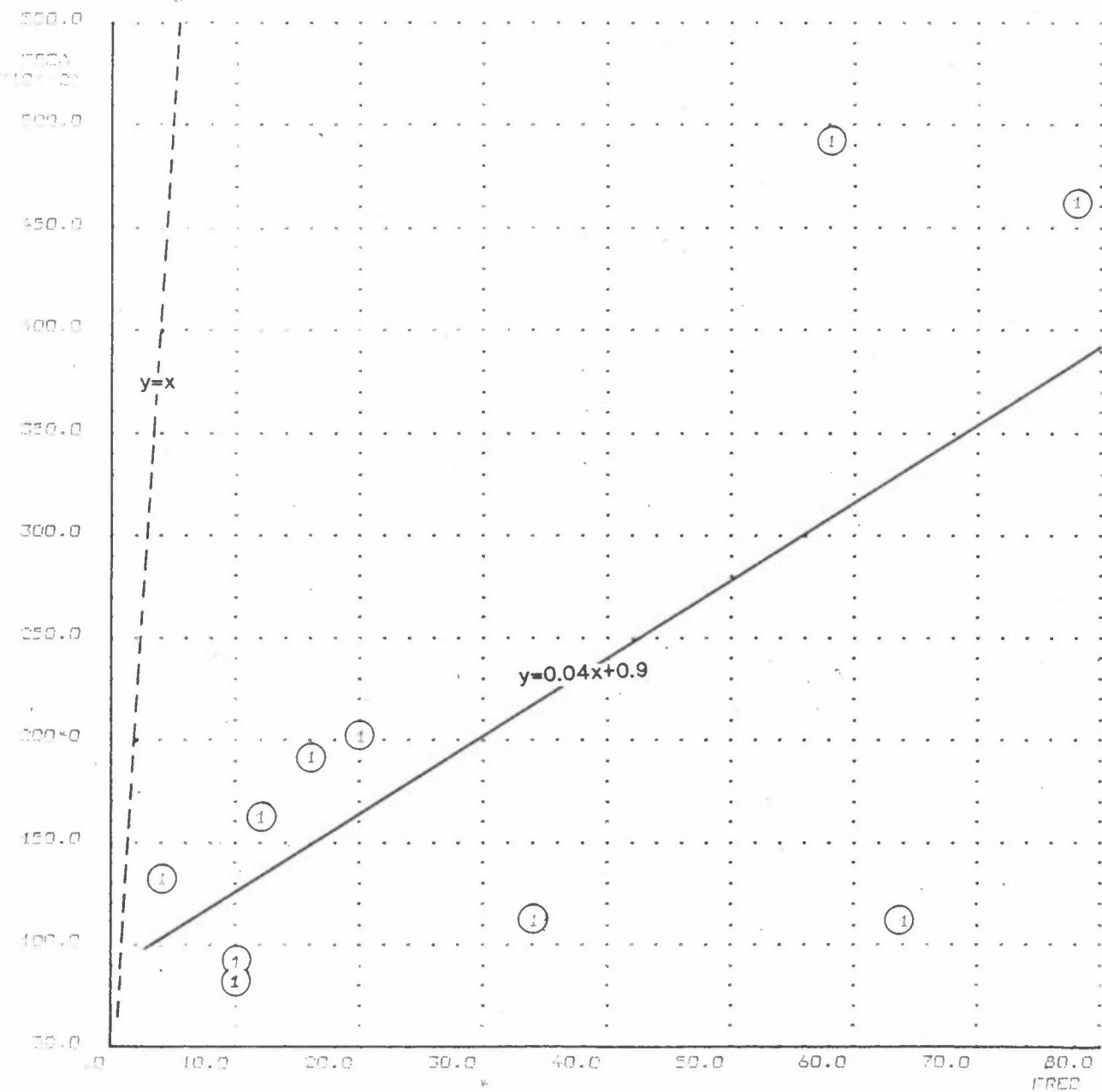
Figur 8: Midlere månedsbelastning av kloridaerosoler i luft målt med NILUs aerosolfelle på CMI, Fyllingsdalen og Fredriksberg i perioden 1984-02-01--12-31.



Figur 9: Månedlige kloridkonsentrasjoner i nedbøren målt på stasjonene i Bergen.

FREB (Årsmedj. pr. d.)

$$\text{FREA} = 0.232 + \text{FREB} + 0.857$$



Figur 10: Sammenheng mellom kloridbelastning målt med aerosolfelle (FREA) og med nedbørsamler (FREB) på Fredriksberg i perioden 1984-02-01--12-31.

Tabell 9: Beregnede årsverdier for aktuelle miljøvariable i Bergen.

ÅR: 8301-12		TEMP: 7.9 C , TOW:4188 TIMER						
STASJON	NEDBØR	H+ (PH)	CL-C	CL-B	CL(AF)	S02		
	MM	UEKV/L	MG/L	MG/M2*D	MG/M2*D	UG/MJ		
1NATIONALE S	2502.9	27.5(4.56)	8.3	53.3		10.3		
2C.M.I.	2836.9	31.0(4.51)	7.7	50.4		9.4		
3SANDVIKEN	2330.9	13.0(4.39)	8.4	54.5		10.7		
4LAKSEVAG	2794.8	28.0(4.55)	6.1	47.4		8.0		
5MINDE	3038.9	24.8(4.61)	6.4	53.8		7.5		
6LANDÅS	2923.2	24.3(4.61)	6.2	50.4		5.7		
7HOP SKOLE	2669.4	24.4(4.61)	7.5	55.6		3.8		
11KRONSTAD	2998.7	24.7(4.61)	5.5	46.2		9.4		
12RAVNEBERGET	3028.7	25.6(4.59)	6.2	51.8		5.4		
13FREDRIKSBER	3607.3	29.5(4.53)	9.8	98.2		10.1		
ÅR: 8401-12		TEMP: 8.0 C , TOW:3408 TIMER						
STASJON	NEDBØR	H+ (PH)	CL-C	CL-B	CL(AF)	S02		
	MM	UEKV/L	MG/L	MG/M2*D	MG/M2*D	UG/MJ		
1NATIONALE S	1340.4	15.1(4.82)	6.9	25.7		14.9		
2C.M.I.	1624.5	23.5(4.63)	5.9	26.4	.9	11.8		
3SANDVIKEN	1474.8	17.4(4.76)	6.0	24.7		11.7		
4LAKSEVAG	1667.5	39.6(4.40)	5.3	24.4		10.1		
5MINDE	1919.7	31.1(4.51)	5.3	28.1		8.2		
6LANDÅS	1686.0	41.0(4.39)	5.4	25.5		7.1		
7HOP SKOLE	1476.1	30.0(4.52)	6.1	24.8		5.4		
8FYLLINGSDAL	1266.2	44.6(4.35)	4.9	19.0	2.1	5.6		
11KRONSTAD	1868.8	40.6(4.39)	4.9	25.3		12.8		
12RAVNEBERGET	1628.0	33.9(4.47)	5.3	23.8		5.9		
13FREDRIKSBER	1877.4	49.7(4.30)	6.1	34.7	2.0	13.7		

GRUNNLAGSMATERIALE 5 - MÅLTE KORROSJONSHASTIGHETER

Månedskorrosjonen av stål varierer totalt med en faktor ca. 5 gjennom 1984.
Stasjonene er svært like og godt korrelert. Den midlere månedskorrosjonen i
Bergen er lav og ca. 30% høyere enn på bakgrunnstasjonen Hoff i
S-F.

Månedskorrosjonen for 1984 er vist i tabell 10 og figur 11. På Sandviken mangler måledata for juli, okt. og des. Dette skyldes hærverk. En rekke plater er fjernet, og måledataene er derfor svært mangelfulle. På Kronstad er det ofte høy korrosjon. Det skyldes trolig at platene her er eksponert relativt nært et lokalt utslipp. Det var umulig å få plassert platene i umiddelbar nærhet av SO_2 -måleutstyret, og prøvene ble derfor ikke påvirket av det samme lokale utslipp. Kronstad er derfor en dårlig målestasjon, som vi egentlig må se bort fra når det gjelder dose-effekt-sammenhenger. Sotra er den eneste stasjonen som ligger en del høyere korrosjonsmessig enn de andre (untatt Kronstad). Siden den er et godt stykke unna Bergen, og dessuten mer påvirket av sjøsalt, er den ikke direkte sammenlignbar med de øvrige stasjonene.

Om vi ser bort fra Sandviken, Sotra og Kronstad av den månedlige middelverdien $31,5 \text{ g/m}^2$. I S-F hadde bakgrunnsstasjonen Hoff en midlere månedskorrasjon på ca. 24 g/m^2 , mens "Alvim"-stasjonene hadde ca. 48 g/m^2 . Månedskorrasjonen i Bergen er m.a.o. ca 30% høyere enn i bakgrunnsområdet, og ca. 30% lavere enn i byområdene i S-F.

Med unntak av Kronstad viser den kvartalsvise korrasjonen av stål at det er svært liten forskjell mellom stasjonene.

Kvartalskorrasjonen og den lineære regresjonsanalysen og sammenhengen mellom stasjonene er vist i tabell 11 mens figur 12 viser tidsforløpet for korrasjonen. I Fyllingsdalen startet kvartalseksponeringen først i 1984.

Av figur 12 ses at Kronstad hadde vesentlig høyere kvartalskorrasjon enn de andre stasjonene.

De midlere korrosjonsverdiene viser at i gjennomsnitt er kvartalskorrosjonen (tabell 10 - 31.5 g/m^2) ca. 10% lavere enn månedskorrosjonen, (Tabell 11 - 85 g/m^2), som i S-F. Dette skyldes den bremsende effekten av korrosjonsproduktene. I S-F-undersøkelsen var midlere kvartalskorrosjon 66 g/m^2 på Hoff og 120 på Alvim-stasjonene. I Bergen er derfor også kvartalskorrosjonen ca. 30% høyere enn på Hoff og ca. 30% lavere enn i byområdene.

Årskorrosjonen for stål viser som for månedsvise og kvartalsvis eksponering at det ikke er noen særlig forskjell mellom stasjonene. Det er en klart høyere korrosjon i -83 enn i -84. Årskorrosjonen i Bergen er ca 15% høyere enn i bakgrunnsområdet i S-F.

Årskorrosjonen for stål, sink, kopper og aluminium er vist i tabell 12, mens årskorrosjonen av stål også er vist i figur 13. Som tidligere ser vi at korrosjonen på Kronstad, på grunn av den spesielle plasseringen, er vesentlig høyere enn på de andre stasjonene. Sett i forhold til ISO-standarden for korrosjonskategorier tilhører korrosjonen i 1983 klasse 3, (ISO/TC 156/WG4-1985) mens korrosjonen i 1984 ligger på grensen av klasse 2 og 3. Toårskorrosjonen viser at korrosjonen er avtagende med tiden. Den midlere årskorrosjonen i Bergen (241 g/m^2) er ca 15% høyere enn i bakgrunnsområdet (Hoff) og ca 30% lavere enn i byområdene i S-F-undersøkelsen.

Også for sink er det tilnærmet samme korrosjonshastigheten på stasjonene og 83-korrosjonen er høyere enn for 84.

Årskorrosjonen av sink er vist i figur 14. Sammenlignet med ISO-standarden for korrosjonskategorier ligger årskorrosjonen for sink i -83 for det meste i klasse 4 og i -84 i klasse 3. Den relativt høye sink-korrosjonen sammenlignet med stål-korrosjonen skyldes trolig den lange våttiden og de store regnmengdene i Bergen. En har tidligere vist at dette påvirker sink-korrosjonen (Haagenrud et al., 1982 og Ellis, 1949). Av toårs-korrosjonen framgår at i takt med dette er det heller ingen særlig avtagende korrosjon av sink med tiden. Den gjennomsnittlige sink-korrosjon i Bergen er den samme som i byområdene i S-F ("Alvim-stasjonene").

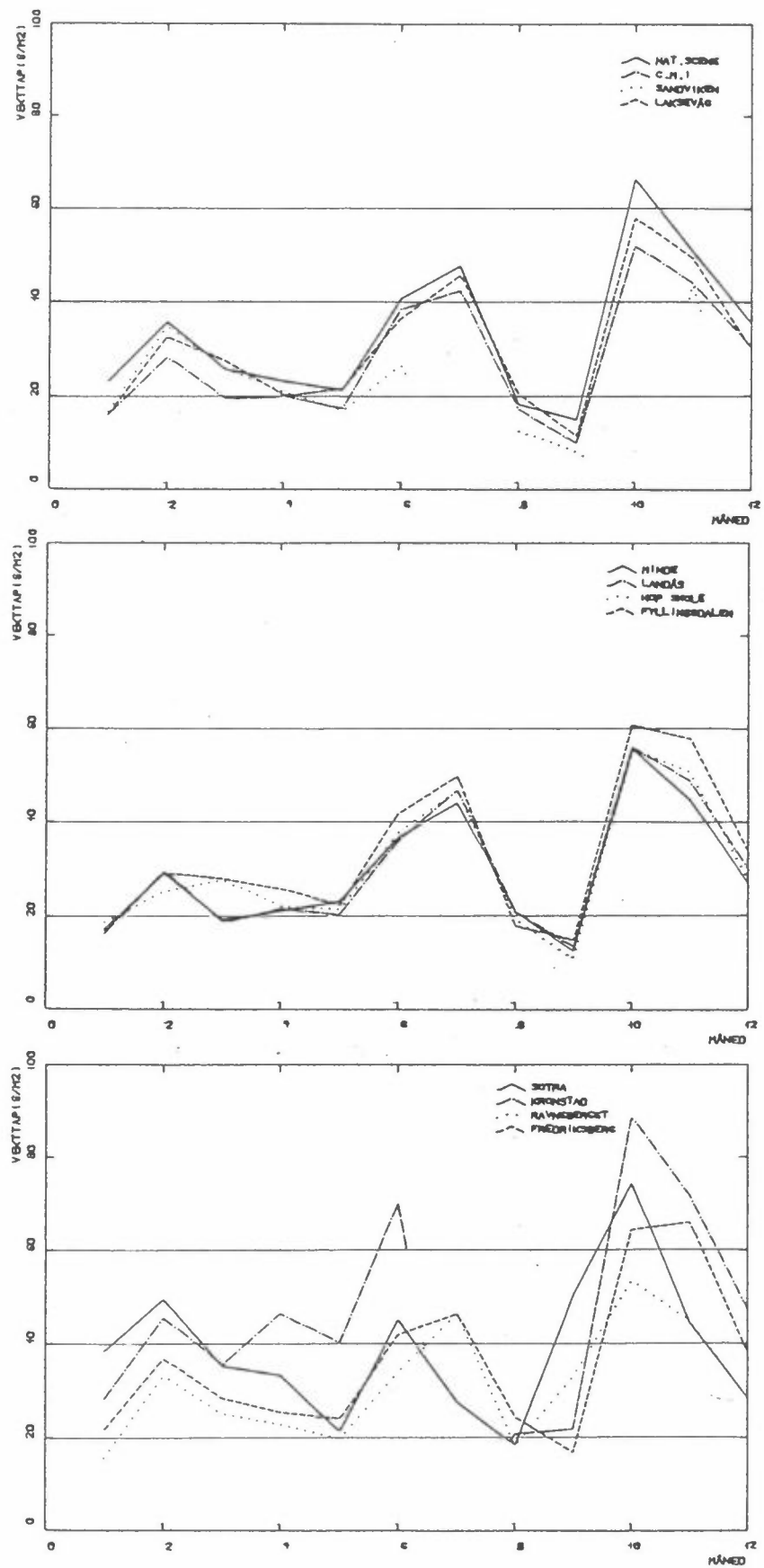
Arskorrosjonen for kopper og aluminium viser også omtrent samme korrosjonshastighet for hele området. Korrosjonen i 1983 er klart høyere enn i 1984.

Arskorrosjonen av kopper og aluminium er vist i hhv. figur 15 og 16. Som en ser er det klar forskjell på korrosjonen i de to årene. For koppen er som oftest korrosjonen i -83 nesten det dobbelte av i -84. Sammenlignet med ISO-standarden ligger korrosjonen i 1983 i klasse tre, mens den i 1984 for det meste ligger i klasse to. Den gjennomsnittlige korrosjonshastigheten i de to årene ($5,9 \text{ g/m}^2$) er ca. 20% lavere enn i byområdene i S-F ($7,5 \text{ g/m}^2$). Også for koppen ser vi at korrosjonen avtar relativt lite med tiden.

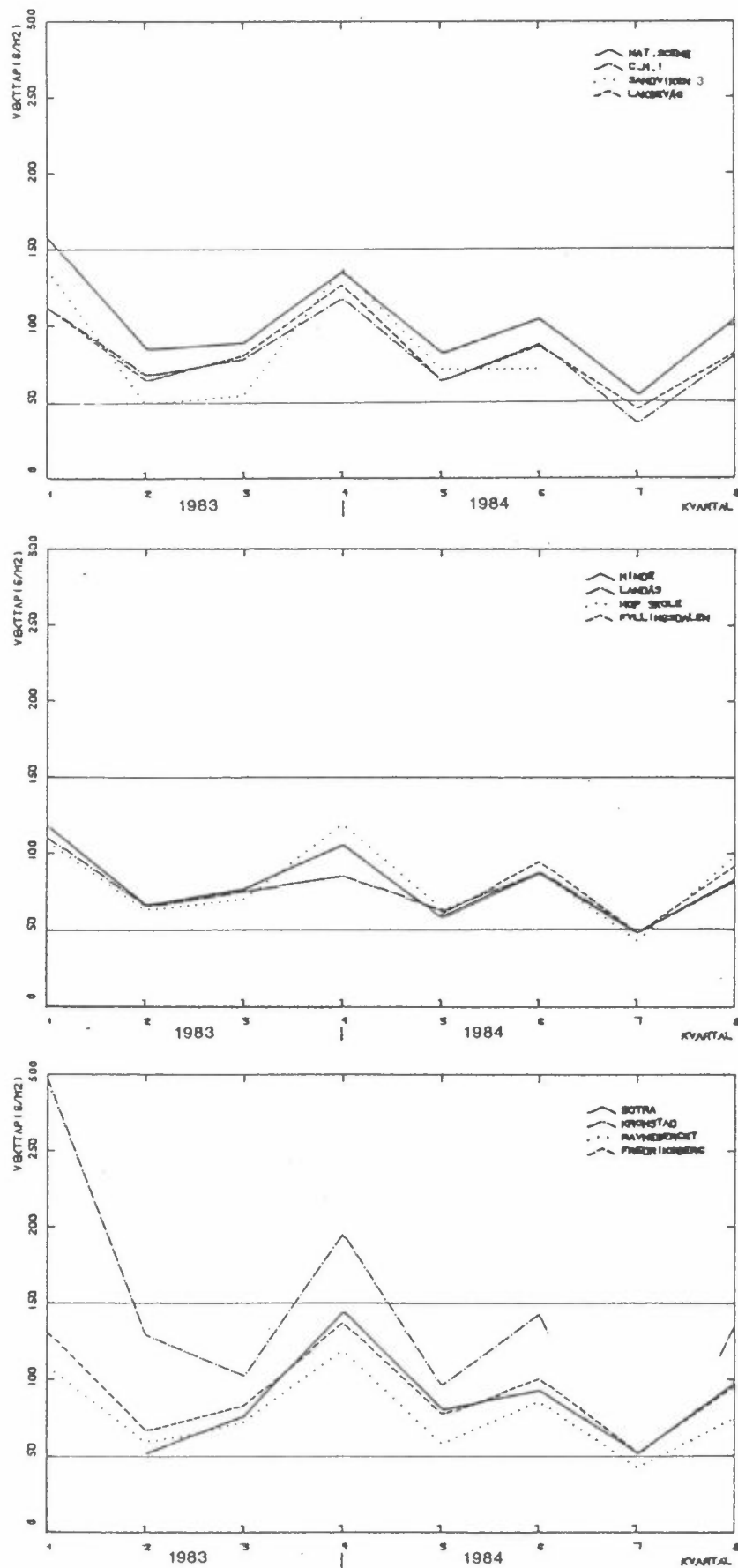
For aluminium er korrosjonen i 1983 på grensen mellom klasse to og tre i ISO-standarden, mens 84-korrosjonen ligger i klasse to. Korrosjonshastigheten er sterkt avtagende med tiden, bortsett fra den ekstremt høye verdien på Kronstad. Den gjennomsnittlige korrosjonen i de to årene ($0,6 \text{ g/m}^2$) er ca. 20% lavere enn i byområdene i S-F ($0,7 \text{ g/m}^2$).

Tabell 12: Årskorrosjon av stål, sink, kopper og aluminium i Bergen (g/m²).
YR

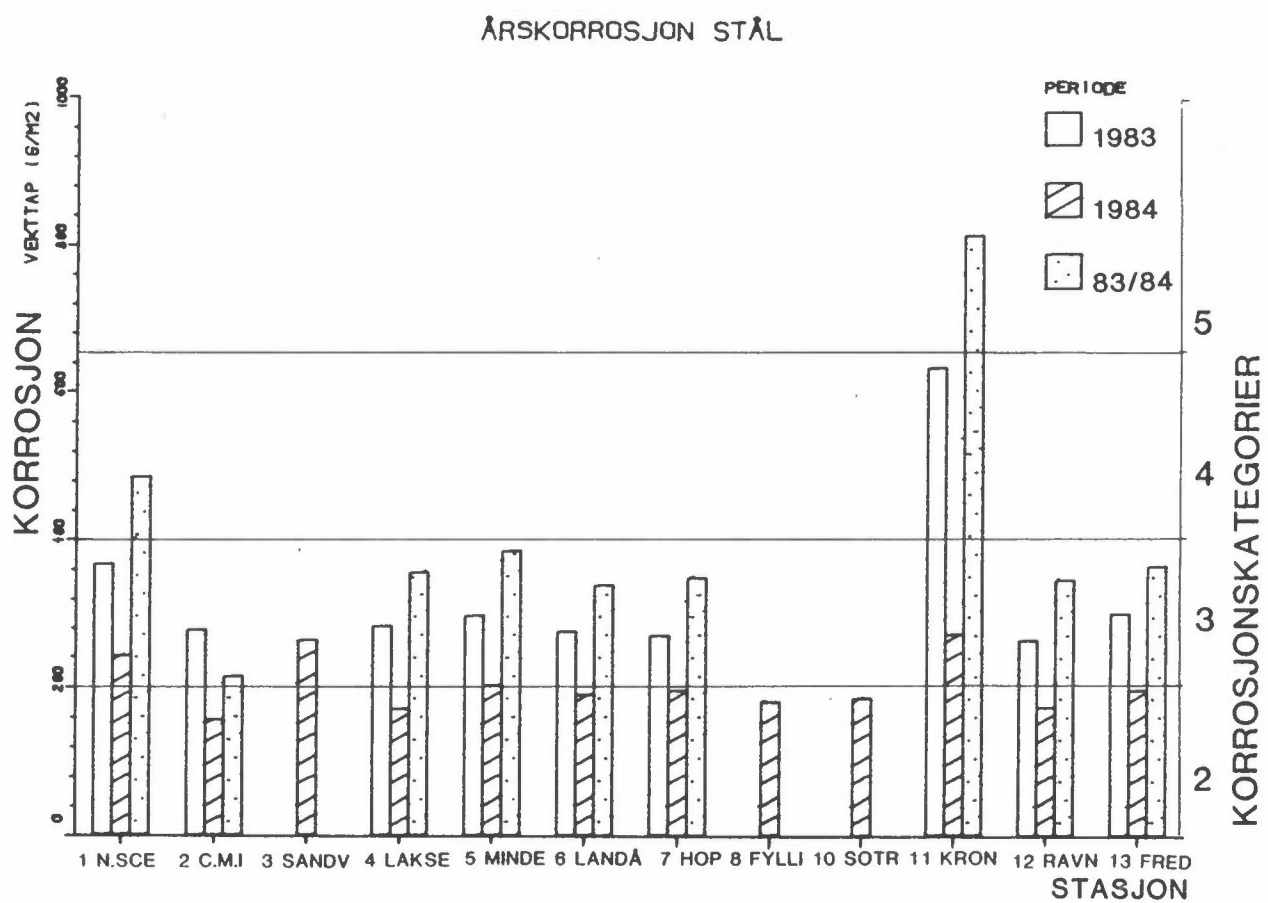
	STÅL			ZINK		
	1983	1984	83/84	1983	1984	83/84
STASJON						
1 NAT.SCENE	368.7	244.0	486.4	13.3	10.3	28.7
2 C.M.I.	279.3	158.0	216.7	16.7	13.3	28.7
3 SANDVIKEN		266.0		11.3		
4 LAKSEVÅG	285.0	173.0	358.0	19.7	11.3	28.3
5 MINDE	299.0	205.0	387.4	14.7	9.7	23.7
6 LANDÅS	278.0	192.3	340.7	15.7	11.3	29.3
7 HOP SKOLE	272.0	197.7	350.4	16.0	12.7	30.0
8 FYLLINGSDA		182.7			14.0	
11 KRONSTAD	635.4	274.0	815.7	25.0	14.7	40.3
12 RAVNEBERG.	266.7	175.7	348.4	17.3	7.0	52.7
13 FREDRIKSB.	302.7	199.3	367.7	19.0	21.0	32.7
CU			AL			
STASJON	1983	1984	83/84	1983	1984	83/84
1 NAT.SCENE	7.0	2.9	10.4	.6	.3	.6
2 C.M.I.	8.8	3.5	12.5	.8	.4	.9
3 SANDVIKEN	7.2			.6		
4 LAKSEVÅG	8.4	3.5	11.5	.8	.4	.6
5 MINDE	6.8	3.4	11.7	.5	.4	.7
6 LANDÅS	7.8	4.4	12.5	.6	.4	.8
7 HOP SKOLE	8.6	5.7	12.3	.6	.4	.8
8 FYLLINGSDA		6.0			.4	
11 KRONSTAD	11.3	5.6	15.7	1.0	.5	1.2
12 RAVNEBERG.	5.4	2.1	7.3	.6	.3	2.2
13 FREDRIKSB.	9.6	5.5	12.5	.9	.5	1.3



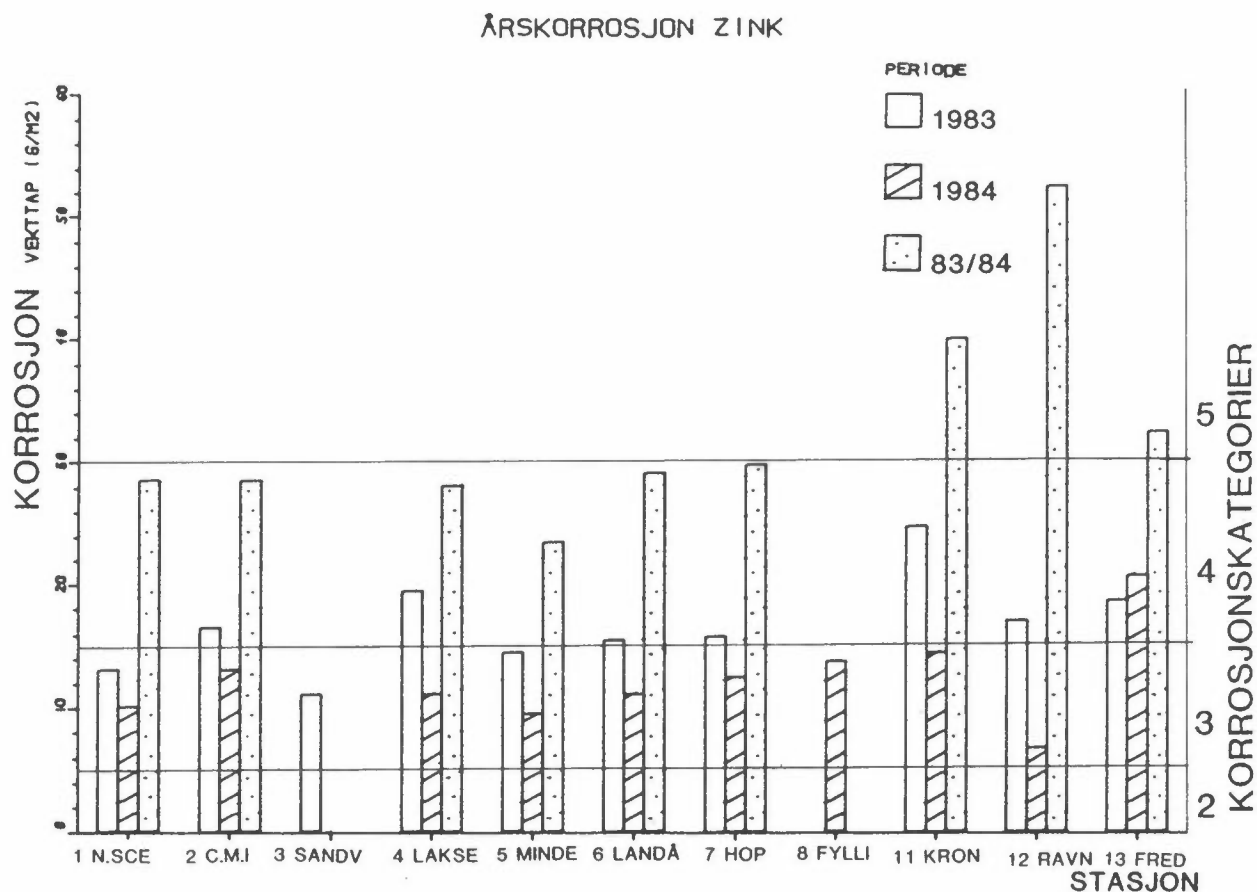
Figur 11: Månedskorrosjon av stål i 1984 på stasjonene i Bergen.



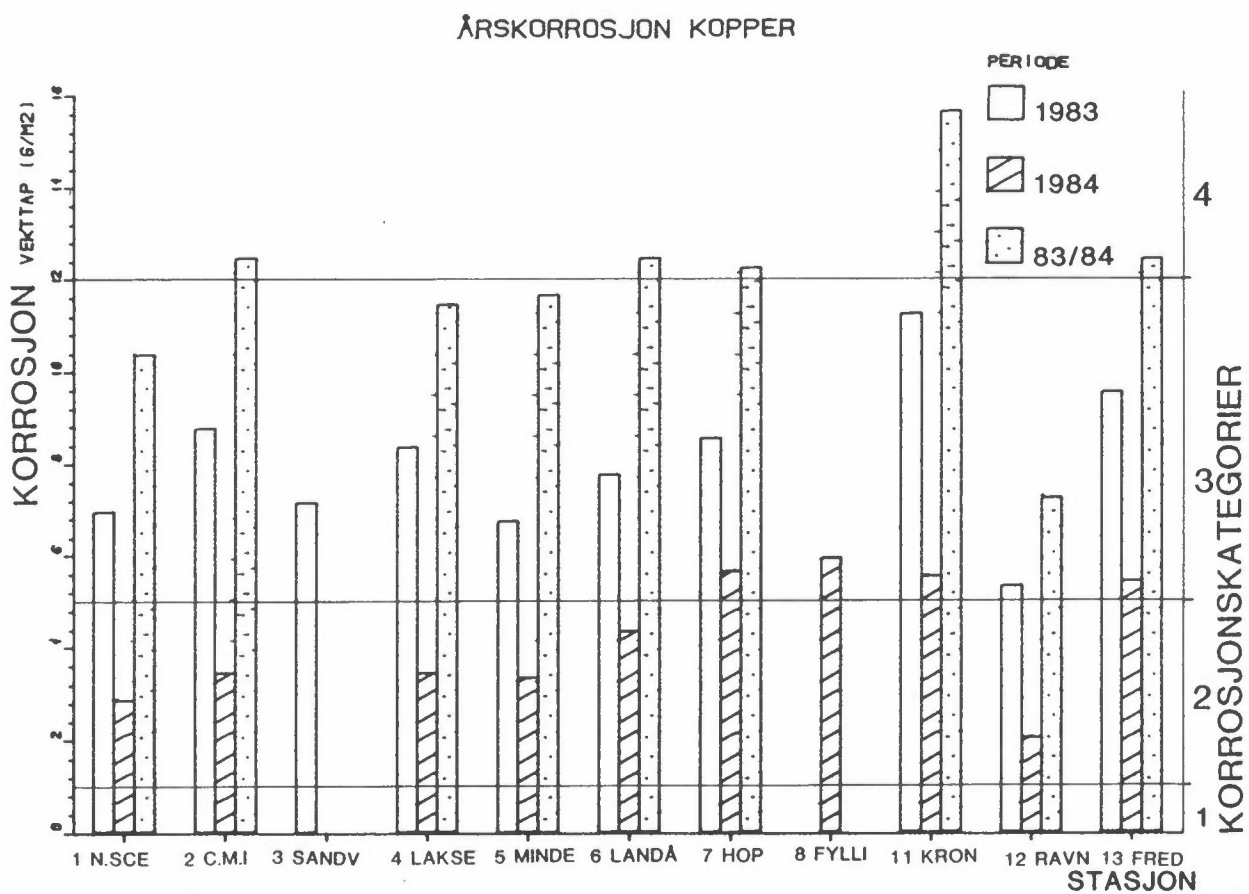
Figur 12: Kvartalskorrosjon av stål målt på stasjonene i Bergen i 1983/84.



Figur 13: Korrosjon av stål 2x1-års og 2 års eksponering på stasjoner i Bergen.

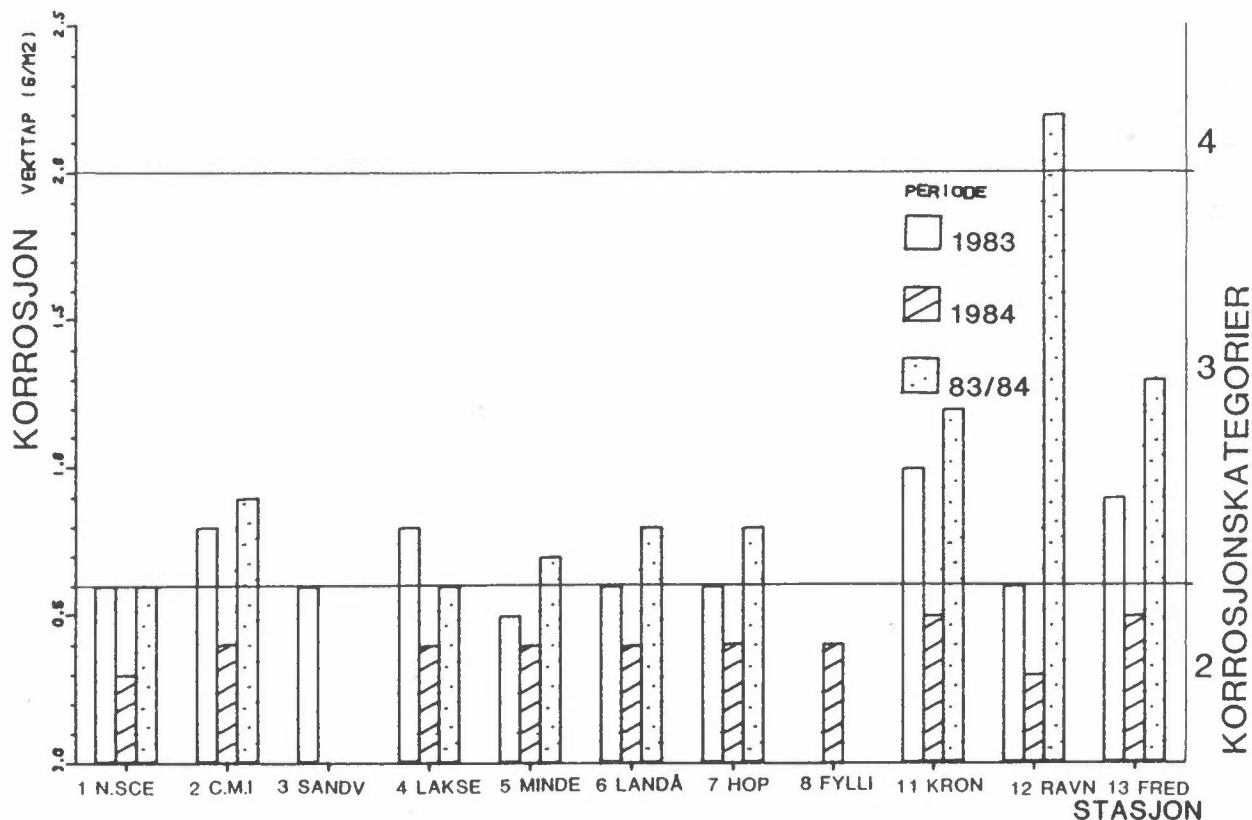


Figur 14: Korrosjon av sink 2x1-års og 2 års eksponering på stasjoner i Bergen.



Figur 15: Korrosjon av kopper 2x1-års og 2 års eksponering på stasjoner i Bergen.

ÅRSKORROSJON ALUMINIUM



Figur 16: Korrosjon av aluminium 2x1-års og 2 års eksponering på stasjoner i Bergen.

GRUNNLAGSMATERIALE 6 - DOSE-EFFEKT RELASJONER FOR STÅL

Utenom fuktbelastningen er det liten belastning av de fleste korrosjonsbestemmende variable (SO_2 , surhet og sjøsalt). Korrosjonshastigheten av stål i Bergen er derfor relativt lav (mellan Hof og Alvim i S-F) og uniform, og dårlig korrelert med andre miljøvariable enn nedbørsmengde og våttid.

Det er gjort multipel regresjonsanalyse av korrosjonshastigheter og miljøvariablene gitt i grunnlagsmateriale 3 og 4. Ved å anta like klimatiske forhold fikk alle stasjonene de samme månedlige temperaturer og våttid, mens alle stasjonene har separate målinger av øvrige miljøvariable.

Den multiple regresjonsanalysen er gjort med et standardprogram utviklet ved NILU (Gram, 1972). Foruten korrelasjonen mellom de enkelte variable gir programmet også de ti beste relasjonene av summen av henholdsvis to og tre variable. I dette ligger det også en testing av om inkludering av en ny variabel betyr en signifikant økning av korrelasjonen ved de valgte konfidensnivåene 95% (**) og 90% (*).

Som det fremgår av etterfølgende tabeller er de fleste av regresjonslingene med to eller tre variable ikke relevante. Det skyldes en eller flere av følgende årsaker:

- Relasjonen skal bare inneholde uavhengige variable, f.eks. skal ikke både TOW og STOW inngå i samme ligning.
- Ut fra antatt korrosjonsmekanisme skal de nedbørkvalitetsvariable forekomme med positivt fortegn i relasjonene.
- Økningen i antall variable skal bety en signifikant økning av korrelasjonene.

I regresjonsanalysene har vi også inkludert kombinerte variable, som produktet av SO_2 og våttid (S.TOW), SO_2 og kloridkonsentrasjon (SO Cl), for å undersøke eventuelle synergistiske effekter.

Fra de ulike regresjonsanalysene har vi trukket ut de beste relasjonene oppnådd på henholdsvis måneds-, kvartals- og årsbasis (Tabell 13).

Tabell 13: De beste månedlige, kvartalsvise og årlige D/R relasjoner for stål.

Relasjon	Korrelasjonskoeffisient R (antall data)	Uforklart variasjon $(1-R^2)\%$
$\frac{K_{Fe}^{mm}}{mm} = 0.05 mm + 0.05 TOW + 0.12 H^+ + 7.1$	R = 0.47 (126)	83
$\frac{K_{Fe}^{kv}}{mm} = 0.06 mm + 0.004 SO_2 \times TOW + 28.9$	R = 0.62 (81)	62
$\frac{K_{Fe}^{\text{år}}}{mm} = 0.12 TOW + 0.72 SO_2 \times Cl - C - 250.3$	R = 0.89 (18)	21
$\frac{K_{Fe}^{\text{år}}}{mm} = 0.12 TOW + 5.4 SO_2 - 310.2$	R = 0.88 (18)	23

I likningene er $mm = mm$ nedbørmengde, $TOW =$ våttid, H^+ = konsentrasjon av H^+ ioner, $SO_2 \times TOW = SO_2 \times$ våttid, og $SO_2 \times Cl-C = SO_2 \times$ kloridkonsentrasjon.

Det er dårligst korrelasjon på månedsbasis, hvor en relasjon med summen av mm-nedbør, våttid og H^+ kun gir en korrelasjonskoeffisient på 0.47 med en uforklart restvarians 83%.

Den fullstendige regresjonsanalysen er vist i tabell 14. På månedsbasis ser en at den store nedbørmengden spiller en like stor rolle som våttiden. Sammenlignet med de fleste andre steder i landet vil i Bergen langt mer av den totale våttiden bestå av regn. Nedbøren kan ha både en generell korroderende effekt og en avvaskende korrosjonshindrende effekt. Det sistnevnte er særlig tilfelle når det er mye forurensninger, og hvor nedbøren vasker de korroderende forurensningene vekk fra overflaten. På bakgrunn av det lave forurensningsnivået i Bergen er det rimelig å anta at regnmengden i Bergen primært har en korroderende effekt.

Vi har også kjørt regresjonsanalyser ved å ta bort en og en stasjon fra den totale datamassen og ved å kjøre hver stasjon for seg. Dette gjør ingen forskjell i korrelasjonene. På hver enkelt stasjon blir korrelasjonskoeffisienten noe høyere, men vi får ingen signifikant økning i korrelasjonen ved å legge til to eller tre variable.

For kvartalskorrosjon er det fortsatt svært dårlig korrelasjon, men et visst SO_2 -bidrag kan spores.

Regresjonsanalysen er vist i tabell 15. Som vi ser er det fortsatt mm-nedbør som er best korrelert av de enkeltvariable. Blant annet som følge av dette har vi også fått en korrelasjon med kloridbelastning. Ellers legger vi merke til at det blir en signifikant økning i korrelasjonen når vi inkluderer SO_2 , enten alene eller i form av produktet SO_2 multiplisert med TOW. På grunnlag av en slik ligning vil vi eventuelt kunne beregne korrosjonen for Bergen ut fra konsentrasjonskartet for SO_2 for Bergen (Grønskei et al., 1986).

Vi har også kjørt denne regresjonen uten de tre stasjonene Fyllingsdalen (mangler mye data) og Sandviken/Kronstad som var beheftet med usikkerheter som tidligere angitt. I det sistnevnte tilfellet øker korrelasjonene en del, og en relasjon med temperatur og våttid eller mm-nedbør har en korrelasjonskoeffisient på 0.76. Økning av antall variable øker ikke korrelasjonene.

Årskorrosjonen av stål er godt korrelert med våttiden. Bidrag fra SO_2 og klorid kan også spores.

Regresjonsanalysene er vist i tabell 16. På grunn av de svært uregelmessige årskorrosjonsdataene på Kronstad er denne stasjonen utelatt i regresjonsanalysen. Vi ser at korrosjonen er godt korrelert med våttiden ($R = 0.84$). Også mm-nedbør og kloridkonsentrasjonen er bra korrelert som enkeltvariable. Dette er som ventet siden det er stor forskjell på korrosjonen i de to årene, men ingen vesentlig forskjell i SO_2 -nivået. Derfor er det ingen korrelasjon med SO_2 som enkeltvariabel. Ved summen av to variable blir det en signifikant økning i korrelasjonen om produktet av SO_2 og kloridkonsentrasjonen inkluderes i ligningen. Da oppnås en korrelasjonskoeffisient på 0.89 (ca 20% restvarians). Vi ser også at det er flere ligninger med tilnærmet samme korrelasjon, f.eks. summen av SO_2 og våttid med $R=0.88$. I S-F-undersøkelsen fikk vi ikke denne relasjonen for årskorrosjonen, da denne ble overskygget av korrelasjonen med SO_2 og produktet $\text{SO}_2/\text{våttid}$ ($R=0.93-0.95$). (Haagenrud et al.l, 1984). Når vi også inkluderer Kronstad i regresjonene går korrelasjonskoeffisientene vesentlig ned, og det blir ingen signifikant økning av korrelasjonen ved to og tre variable.

Tabell 15: forts.

DE 10 BESTE RELASJONER MED TO VARIABLE:				
KORR = .01567*MM + .0037*TOW + 28.8810	ST.AVVIK .0115	.0010	9.6294	R= .6190, RR= .6160
T-TEST 4.9519	3.8718		2.9777	
				OVERGANG FRA MM (R= .5143) TIL TO VARIABLE: F= 14.29** NOBS= 81
KORR = -.8520*TEMP + .1296*TOW + 20.1918	ST.AVVIK 1.0275	.0233	18.7226	R= .6150, RR= .6204
T-TEST -6.6490	5.5694		1.0785	
				OVERGANG FRA TEMP (R= -.3641) TIL TO VARIABLE: F= 31.02** NOBS= 81
KORR = .0026*STOW + .4400*CL-B + 50.7570	ST.AVVIK .0011	.0950	8.4533	R= .6080, RR= .6304
T-TEST 2.4843	4.7253		6.0045	
				OVERGANG FRA CL-B (R= .5655) TIL TO VARIABLE: F= 6.17* NOBS= 81
KORR = .0699*MM + 2.2289*SO2 + 31.6020	ST.AVVIK .0117	.6997	10.2253	R= .5000, RR= .6508
T-TEST 5.2966	3.1852		3.0906	
				OVERGANG FRA MM (R= .5143) TIL TO VARIABLE: F= 10.15** NOBS= 81
KORR = .0593*MM + -2.6350*TEMP + 78.1276	ST.AVVIK .0117	.8308	10.5480	R= .5800, RR= .6530
T-TEST 5.0604	-3.1378		7.3922	
				OVERGANG FRA MM (R= .5143) TIL TO VARIABLE: F= 9.85** NOBS= 81
KORR = .0221*MM + .4114*CL-B + 60.9999	ST.AVVIK .0194	.1480	7.8203	R= .5752, RR= .6692
T-TEST 1.1347	2.7796		7.8002	
				OVERGANG FRA CL-B (R= .5655) TIL TO VARIABLE: F= 1.29 NOBS= 81
KORR = .7270*SO2 + .5261*CL-B + 62.0663	ST.AVVIK .0246	.0920	7.6189	R= .5731, RR= .6716
T-TEST 1.0033	5.6949		8.1461	
				OVERGANG FRA CL-B (R= .5655) TIL TO VARIABLE: F= 1.01 NOBS= 81
KORR = -1.1631*CL-C + .6263*CL-B + 71.4930	ST.AVVIK 1.1957	.1221	6.4841	R= .5726, RR= .6721
T-TEST -.9728	5.1286		11.0260	
				OVERGANG FRA CL-B (R= .5655) TIL TO VARIABLE: F= .95 NOBS= 81
KORR = .0141*TOW + .5558*CL-B + 54.7027	ST.AVVIK .0194	.0912	18.6195	R= .5605, RR= .6757
T-TEST .7258	5.8521		2.9379	
				OVERGANG FRA CL-B (R= .5655) TIL TO VARIABLE: F= .53 NOBS= 81
KORR = -.7111*TEMP + .5041*CL-B + 76.0008	ST.AVVIK 1.0077	.1073	11.5796	R= .5603, RR= .6759
T-TEST -.7056	4.7004		6.4761	
				OVERGANG FRA CL-B (R= .5655) TIL TO VARIABLE: F= .50 NOBS= 81

Tabell 16: forts.

GRUNNLAGSMATERIALE 7 - DOSE/EFFEKT RELASJONER FOR SINK, KOPPER OG ALUMINIUM

Årskorrasjonen av sink, kopper og aluminium er bra korrelert med nedbørsmengde og/ eller våttid. Våtdeponert klorid (Cl-B) er også av betydning.

De ulike ligningene for de tre materialene er vist i tabell 17, mens fullstendig regresjonsanalyse for sink er vist i tabell 18. De tilsvarende regresjonsanalysene for kopper og aluminium er svært like og tabellene utelates.

Tabell 17: Arlig dose-effekt relasjoner for sink, kopper og aluminium.

Relasjon	Korrelasjonskoeffisient R (18 data)	Uforklart variasjon $(1-R^2)\%$
$\frac{\text{år}}{K_{Zn}} = 0.004 \text{ mm} + 0.16H^+ + 0.51$	R = 0.72	48
$\frac{\text{år}}{K_{Zn}} = 0.007 \text{ TOW} + 0.22H^+ - 20.1$	R = 0.70	50
$\frac{\text{år}}{K_{Cu}} = 0.003 \text{ mm} + 0.37$	R = 0.77	40
$\frac{\text{år}}{K_{Cu}} = 0.005 \text{ TOW} - 11.7$	R = 0.82	32
$\frac{\text{år}}{K_{Cu}} = 0.09 \text{ Cl-B} + 2.1$	R = 0.81	35
$\frac{\text{år}}{(K_{Cu})} = 0.006 \text{ TOW} + 0.07H^+ - 17.2$	R = 0.87	25
$\frac{\text{år}}{K_{Al}} = 0.0002 \text{ mm} + 0.05$	R = 0.86	26
$\frac{\text{år}}{K_{Al}} = 0.0004 \text{ TOW} - 0.82$	R = 0.82	33
$\frac{\text{år}}{K_{Al}} = 0.008 \text{ Cl-B} + 0.21$	R = 0.88	23

For alle tre materialene er det god korrelasjon med enkeltvariablene mm-nedbør, våttid og kloridbelastning. Siden nedbørmengden er målt på hver stasjon er datagrunnlaget for denne variablen vesentlig bedre enn for våttid, hvor vi kun har én verdi for hele området for hvert år. Variablene er inter-korrelert og understreker det faktum at korrosjonen i Bergen i dominerende grad er bestemt av nedbør/våttid.

Nedbørkvaliteten i form av surhet og/eller klorid har også betydning. For sink gir tillegg av surhet i nedbøren signifikant økning av korrelasjonen. For kopper er surheten i nedbøren på grensen til å gi en signifikant økning av korrelasjonen.

SO_2 har ingen betydning.

Utover dette får vi ikke for noen av materialene noen signifikant økning av korrelasjonen ved tillegg av to eller tre variable i regresjonene.

Tabell 18: forts.

DE 10 BESTE RELASJONER MED TO VARIABLE:				
K ZN =	.0039*MM	+	.1640*H+	+ .5099
ST.AVVIK	.0010		.0746	3.6611
T-TEST	3.9317		2.1992	.1393
				OVERGANG FRA MM (R= .6082) TIL TO VARIABLE: F= 4.84 NOBS= 18
K ZN =	.2230*H+	+	.0073*TOW	+ -20.1305
ST.AVVIK	.0834		.0020	8.2354
T-TEST	2.6740		3.7170	-2.2520
				OVERGANG FRA TOW (R= .5063) TIL TO VARIABLE: F= 7.15 NOBS= 18
K ZN =	.2230*H+	+	-5A.7019*TEMP	+ 658.2591
ST.AVVIK	.0834		15.2547	120.0815
T-TEST	2.6740		-3.7170	3.8162
				OVERGANG FRA TEMP (R= -.5063) TIL TO VARIABLE: F= 7.15 NOBS= 18
K ZN =	.1618*H+	+	.1252*CL-B	+ 3.9627
ST.AVVIK	.0806		.0371	3.3574
T-TEST	2.0082		3.3778	1.1803
				OVERGANG FRA CL-B (R= .5502) TIL TO VARIABLE: F= 4.03 NOBS= 18
K ZN =	-1.8379*CL-C	+	.2042*CL-B	+ 17.4461
ST.AVVIK	1.1822		.0760	5.1868
T-TEST	-1.5546		2.6853	3.3634
				OVERGANG FRA CL-B (R= .5502) TIL TO VARIABLE: F= 2.42 NOBS= 18
K ZN =	.0036*MM	+	.2009*SO2	+ 4.8550
ST.AVVIK	.0011		.2485	3.5770
T-TEST	3.1295		.8081	1.3572
				OVERGANG FRA MM (R= .6082) TIL TO VARIABLE: F= 1.65 NOBS= 18
K ZN =	.0032*MM	+	.0000*TOW	+ 5.4946
ST.AVVIK	.0011		.0001	3.2176
T-TEST	2.94/9		.6156	1.7698
				OVERGANG FRA MM (R= .6082) TIL TO VARIABLE: F= 1.38 NOBS= 18
K ZN =	.0045*MM	+	-.0026*TOW	+ 13.7146
ST.AVVIK	.0026		.0044	12.3080
T-TEST	1.7541		-.5623	1.1143
				OVERGANG FRA MM (R= .6082) TIL TO VARIABLE: F= 1.32 NOBS= 18
K ZN =	.0045*MM	+	19.9956*TEMP	+ -154.9865
ST.AVVIK	.0026		35.5615	287.0912
T-TEST	1.7541		.5423	-.5382
				OVERGANG FRA MM (R= .6082) TIL TO VARIABLE: F= 1.32 NOBS= 18
K ZN =	.0032*MM	+	.0110*SOCL	+ 6.4298
ST.AVVIK	.0011		.0294	2.8485
T-TEST	2.9072		.3731	2.2415
				OVERGANG FRA MM (R= .6082) TIL TO VARIABLE: F= 1.14 NOBS= 18

REFERANSER

Haagenrud, S., Henriksen, J.F. og Gram, F. (1984) Basisundersøkelse av luft-kvaliteten i Sarpsborg og Fredrikstad 1981-1983. Delrapport B - Korrosjon og miljø. Lillestrøm (NILU OR 28/84).

Ellis, O.B. (1949) ASM Proceedings, 49, 152-170.

Gram, F. (1972) Program Mul-Reg. Lillestrøm (NILU TN 22/72).

International Standard Organization (1985) Corrosion of metals and alloys. Classification of corrosivity categories of atmospheres. (ISO/TC156/WG4 - ISO DP 9223).

Larssen, S. (1986) Basisundersøkelse av luftkvaliteten i Bergen 1983-85. Hovedrapport. Lillestrøm (NILU OR 58/86).

Wranglén, G. (1972) An introduction to corrosion and protection of metals. Stockholm, Institut för metalkydd.

NORSK INSTITUTT FOR LUFTFORSKNING (NILU)
NORWEGIAN INSTITUTE FOR AIR RESEARCH
POSTBOKS 130, 2001 LILLESTRØM (ELVEGT. 52), NORGE

RAPPORTTYPE OPPDRAGSRAPPORT	RAPPORTNR. OR 56/86	ISBN-82-7247-730-0	
DATO OKTOBER 1986	ANSV. SIGN. <i>J. Schjordagen</i>	ANT. SIDER 63	PRIS Kr. 50,00
TITTEL Basisundersøkelse av luftkvaliteten i Bergen 1983-1984. Delrapport B: Korrosjon og miljø.		PROSJEKTLEDER S.E. Haagenrud	
		NILU PROSJEKT NR. 0-8249	
FORFATTER(E) Svein E. Haagenrud Jan F. Henriksen Frederick Gram		TILGJENGELIGHET A	
		OPPDRAGSGIVERS REF. T. Syversen, SFT	
OPPDRAGSGIVER (NAVN OG ADRESSE) Statens forurensningstilsyn P.O. Box 8100, Dep 0032 OSLO 1			
3 STIKKORD (à maks. 20 anslag) Korrosjonskartlegging Dose-effektsammenheng			
REFERAT (maks. 300 anslag, 7 linjer) Korrosjonsmiljøet i Bergensområdet er kartlagt for metallene Fe, Cu, Zn og Al. Målingene viser at korrosjonshastigheten er jevn og relativt lav i området. En korrelasjonsanalyse av korrosjon mot målte miljøvariable viser best korrelasjon med nedbørsmengde og våttid og liten effekt av SO ₂ og klorid.			

TITLE Air pollution evaluation in Bergen. Part 3: Corrosion and environment.	
ABSTRACT (max. 300 characters, 7 lines) The environmental corrosivity of the Bergen region has been mapped by measuring the corrosion rate of Fe, Zn, Cu and Al and environmental variables. The corrosion rate shows to be even and fairly small in the whole region. The dose/response correlations show best correlation for the amount of rain and time of wetness.	

* Kategorier: Apen - kan bestilles fra NILU A
 Må bestilles gjennom oppdragsgiver B
 Kan ikke utleveres C